

## دراسة الأداء الأمثل لنظام قيادة كهروميكانيكي مرن مزدوج الكتل باستخدام منظم سرعة تناسبي-تكاملي-تفاضلي (PID)

د. بديع زريفة\*

### الملخص

هَدَفَ هذا البحث إلى وضع طرائق هندسية لتحديد القيم التصميمية المثلى لبارامترات (*parameters*) نظام قيادة تعاقبي ذي كتل مزدوجة مع منظم تناسبي-تكاملي-تفاضلي *PID*، بحيث تؤدي إلى تحسين الخواص الديناميكية وتجعل التآرجح في النظام أقل ما يمكن، وذلك باستخدام طريقة البارامترات المتعددة المثلى التي ابتكرت في البحث [2]. في هذا البحث وضعت معايير للتحكم الأمثل بنظم القيادة ثنائية المكاملة، إذ إنَّ استخدام منظم *PID* في حلقة السرعة يجعل النظام ثنائي المكاملة - تكون سرعته ثابتة مع تغيير الحمل - مما يؤدي إلى تحسين دقة النظام. يبين هذا البحث أن استخدام منظم سرعة نوع *PID* يقضي على إمكانية ظهور ظنين كهروميكانيكي بالنظام، وإن هذا الظنين يظهر لدى استخدام منظم سرعة تناسبي-تكاملي *PI* ومن أجل بارامترات محددة.

في هذا البحث جرى تحديد القيم المثلى للتردد والتآرجح ولمعامل نسبة الكتل فضلاً عن تحديد القيم المثلى لبارامترات المنظم *PID*. أظهرت نتائج البحث - ومن خلال مقارنة بارامترات الأداء الديناميكي للنظام - تفوق الطريقة المتبعة في هذا البحث على الطرائق السابقة.

الكلمات المفتاحية: أمثل، مزدوج الكتل، وصلة مرنة، منظم *PID*، قيادة كهربائية، الخواص الترددية للمطال، ثنائية المكاملة، دليل التآرجح.

\* كلية الهندسة الميكانيكية والكهربائية - جامعة دمشق

## 1- المقدمة:

إن أغلب المنظومات الكهروميكانيكية هي منظومات متعددة الكتل تربط بينها وصلات ميكانيكية مرنة، لذلك فإن استخدام الطرائق التقليدية لضبط منظومات قيادتها- بوصفها كتلة واحدة- لن يجعلها مثلى.

إن وجود وصلات ميكانيكية مرنة يغير خواص نظام القيادة الآلية كلياً ويعدُّ سبباً أساسياً لتأرجح النظام في الحالة الديناميكية الأمر الذي يؤدي إلى عدم تلبية متطلبات العملية التكنولوجية، وإلى اهتراء عناصر النظام قبل أوانها [1].

يعدُّ نظام القيادة الكهربية ثنائي الكتل من أكثر النظم الكهروميكانيكية انتشاراً (ويتألف من كتلة دائر المحرك الكهربي والأجزاء المتعلقة به وكتلة الآلة الميكانيكية والأجزاء المتعلقة بها).

درس هذا النظام عدد كبير من الباحثين، وعلى سبيل المثال [1-7,5-10] وما تزال البحوث مستمرة، لدرجة أن لا تخلو أي مجلة متخصصة في هذا المجال من مقالات عن المنظومات ثنائية الكتل. إلا أن الأعمال المنشورة جميعها- باستثناء البحث [2] الذي لم يتطرق إلى موضوع الطنين الكهروميكانيكي أو إلى عملية ضبط المنظم PID- لا تستخدم طريقة البارامترات المتعددة المثلى، التي تؤدي إلى حلول مثلى للمسألة المطروحة وإلى أعلى درجات الاستقرار مقارنة بالعديد من البحوث، التي جرت المقارنة بها في الأعمال [3,2].

ظهرت في السنوات الأخيرة طرائق عديدة متقدمة، من بينها بناء منظومات عصبونية التي تمتلك كل ميزات جمل التحكم الرقمية، إلا أنها تحتاج إلى وقت كبير لتدريبها وتحديد قيم بارامتراتهما (أوزانها)، كما أنها ومع إمكانية الحصول على معامل تضخيم عالٍ فلا يمكن التخلص من هبوط السرعة مع زيادة عزم الحمل  $M_L$  حتى قيمته

الاسمية، بسبب عدم إمكانية إدخال عنصر مكاملة في بنية المنظم العصبوني [4]، وإذا أضفنا عنصر مكاملة بعد المنظم العصبوني مثلاً تصبح الجملة غير مثلى وقد تصبح غير مستقرة أحياناً.

هَدَفَ هذا البحث إلى وضع طريقة هندسية لتحديد البارامترات المثلى للنظام المدروس بحسب معايير تحكم رياضية علمية، وإلى بحث علاقة تأرجح المنظومة الكهروميكانيكية ببارامتراتهما، وإظهار إمكانية ظهور طنين كهروميكانيكي في المنظومة ثنائية المكاملة ذات الكتل المزدوجة، وتقديم الحل المناسب لهذه المشكلة، وذلك باستخدام منظم نوع (PID) Proportional-Integral-Derivative.

## 2 المخطط الصندوقي البنوي لنظام القيادة الكهربية ذي الكتل المزدوجة:

يبين الشكل 1 المخطط الصندوقي البنوي النظامي لمنظومة القيادة الكهربية مع منظم سرعة تناسبي-تكاملي-تفاضلي PID في حال وجود وصلة مرنة بين المحرك الكهربي والآلة.

وقد أستعملت في البحث الرموز الآتية:

$$T_{m2} = J_2 \frac{w_b}{M_b}, T_{m1} = J_1 \frac{w_b}{M_b}$$

الميكانيكيان للكتلتين الأولى والثانية المتجمعتين.

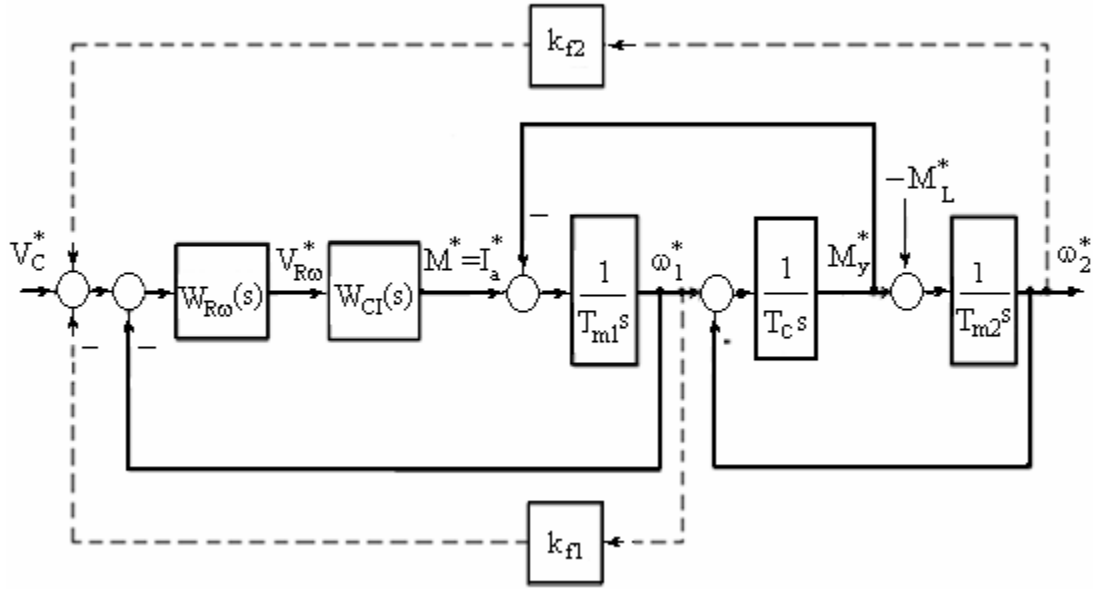
$w_b, M_b$  - القيم الأساسية المنسوب إليها كل من العزم والسرعة الزاوية، وقد عددنا في هذا العمل أنها تساوي القيم الاسمية للعزم والسرعة:  $w_b = w_n, M_b = M_n$ .

$J_2, J_1$  - عزما العطالة للكتلتين الأولى والثانية.

$$T_C = \frac{M_b}{w_b C_{12}} - \text{ثابت زمن القساوة للوصلة}$$

الكينوماتيكية المرنة.

$C_{12}$  -معامل القساوة لعنصر المرونة في النظام.



الشكل 1. المخطط الصندوقي النظامي لنظام تحكم تعاقبي ذي كتل مزدوجة.

في هذا العمل عُدَّت حلقة التيار المغلقة منضبطة بحسب الطريقة التقليدية (بحسب المعيار النموذجي الأمثل [5]، الذي سيُشرَحُ في الفقرة 3-8) ولها تابع التحويل الآتي:

$$W_{CI}(s) = \frac{1}{2T_m^2 + 2T_m s + 1} \quad (1)$$

وحيث إنَّ قيمة  $T_m$  تكون عادة صغيرة جداً فيمكن إهمال  $2T_m^2$ ، وذلك بحسب معظم المراجع [10,5,1] لتصبح العلاقة (1) عندئذٍ على الشكل الآتي:

$$W_{CI}(s) = \frac{1}{2T_m s + 1} \quad (2)$$

إلا أننا لن نقوم بهذا التقريب إلا بعد الدراسة والتأكد من أن ذلك ممكن.

ولمنظم السرعة تابع تحويل تناسبي-تكاملي-تفاضلي:

$$W_{RW}(S) = \frac{k_{RW}(t_C s + 1)(t_D s + 1)}{t_C s} \quad (3)$$

ندرج علاقات المتغيّرات بقواعدها الأساسية في الجدول 1.

الجدول 1. علاقات المتغيّرات بقواعدها.

$V_C^*$	$V_{RW}^*$	$I_a^*$	$w_1^*$	$M_y^*$	$M_L^*$	$w_2^*$
$\frac{V_C}{V_Z}$	$\frac{V_{RW}}{K_i I_n}$	$\frac{i_a}{I_n}$	$\frac{w_1}{w_n}$	$\frac{M_y}{M_n}$	$\frac{M_L}{M_n}$	$\frac{w_2}{w_n}$

إن المتغيّرات جميعها مبيّنة بوحدات نسبية:

$V_C^*, V_{RW}^*, I_a^*, w_1^*, M_y^*, M_L^*, w_2^*$  - بحسب التسلسل توتر الدخل (النسبي) أو إشارة التحكم، توتر خرج منظم السرعة، تيار المحرك، سرعة دوران المحرك الزاوية، العزم في العنصر المرن (عزم المرونة)، عزم الحمل المنقول إلى محور المحرك، والسرعة الزاوية للآلة. إذ  $V_Z$  - توتر الدخل المُعطى،  $K_i$  - معامل تحويل تجهيزات قياس التيار (معامل التغذية العكسية السالبة بالتيار).

يتألف نظام القيادة التعاقبي من حلقتين: حلقة داخلية تشكل حلقة التيار وحلقة خارجية تشكل حلقة السرعة.

### 3- الطنين في النظم الكهروميكانيكية ذات الكتل المزدوجة:

يظهر الطنين الكهروميكانيكي في النظام موضوع البحث -كما سنبين في هذه الفقرة- عند قيم محددة لثابت زمن حلقة التيار  $T_m$ ، أي عندما يكون المنظم تناسبياً-تكاملياً، لذلك سنعد في البداية بأن  $t_D$  في العلاقة (3) تساوي الصفر، ونجد توابع التحويل بوحدات نسبية (وذلك كي نقلل عدد بارامترات النظام)، ثم نحدد منها الخواص الترددية للمطال  $A$  للجملة المغلقة بالنسبة إلى إشارتي الدخل (التحكم  $V_C^*$ ) و (الحمل  $M_L^*$ ) ولمتغيرات الخرج المراد بحثها وهي العزم في الوصلة المرنة والسرعة الزاوية للألة:

-الخواص الترددية لمطال العزم في الوصلة المرنة عندما تكون إشارة التحكم  $V_C^*$  هي إشارة الدخل:

$$A_y = \frac{|M_y^*(jv)|}{|V_C^*(jv)|} = \frac{t_{m2}kv\sqrt{1+b^2v^2}}{|Q(jv)|} \quad (4)$$

-الخواص الترددية لمطال السرعة الزاوية للألة الميكانيكية عندما تكون إشارة التحكم  $V_C^*$  هي إشارة الدخل:

$$A_2 = \frac{|W_2^*(jv)|}{|V_C^*(jv)|} = \frac{k\sqrt{1+b^2v^2}}{|Q(jv)|} \quad (5)$$

-الخواص الترددية لمطال العزم في الوصلة المرنة عندما يكون عزم الحمل  $M_L^*$  هو إشارة الدخل:

$$A_y^M = \frac{|M_y^*(jv)|}{|M_L^*(jv)|} = \frac{|Q_y(jv)|}{|Q(jv)|} \quad (6)$$

إذ:

$$|Q_y(jv)| = \sqrt{\left(k - \frac{1}{g}v^2 + \frac{2t_m^2}{g}v^4\right)^2 + \left(kbv - \frac{2t_mv^3}{g}\right)^2}$$

-الخواص الترددية لمطال السرعة الزاوية للألة الميكانيكية عندما يكون عزم الحمل  $M_L^*$  هو إشارة الدخل:

$$A_2^M = \frac{|M_2^*(jv)|}{|M_L^*(jv)|} = \frac{|Q_2(jv)|}{|Q(jv)|} \quad (7)$$

$$|Q_2(jv)| = \frac{1}{t_{m2}} \sqrt{\left\{ [2t_m(1 - \frac{1}{g}) + kbg]v^2 - 2t_mv^4 \right\}^2 + \left\{ (\frac{1}{g} - 1 - kg)v + [2t_m^2(1 - \frac{1}{g}) + 1]v^3 - 2t_mv^5 \right\}^2}$$

يأخذ المقام في العلاقات (4) - (7) الشكل الآتي:

$$|Q(jv)| = \sqrt{\left[ k(1 - gv^2) + v^2(1 - v^2)(2t_m^2v^2 - 1) \right]^2 + \left[ bk(1 - gv^2) + 2t_mv^3(v^2 - 1) \right]^2}$$

إذ:  $v = \omega T_y$  - التردد بالوحدات النسبية.

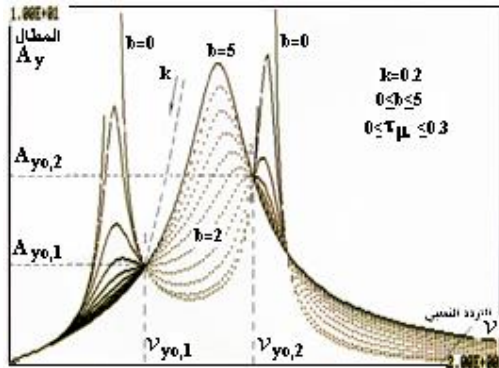
المرنة في النظام الكهروميكانيكي ذي الكتل المزدوجة الذي أخذ كقاعدة للزمن.

$$g = \frac{T_{m1} + T_{m2}}{T_{m1}} = \frac{T_m}{T_{m1}} = \frac{J_1 + J_2}{J_1}$$

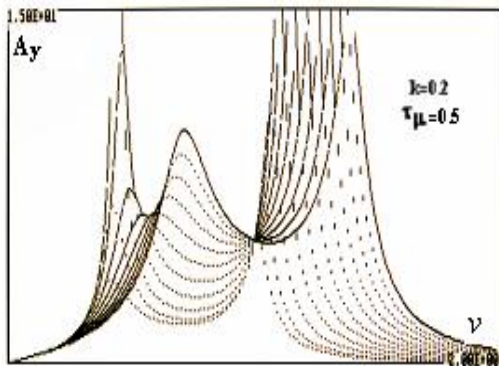
-معامل نسبة الكتل.

وقد رمزنا إلى:

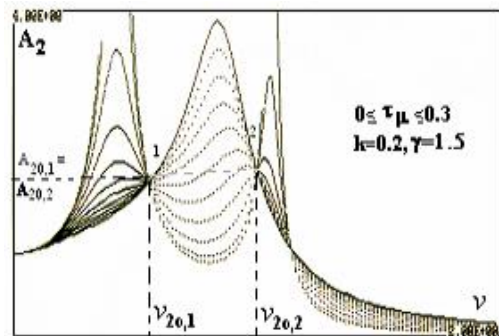
$$t_m = \frac{T_m}{T_y}, b = \frac{t_C}{T_y}, t_{m2} = \frac{T_{m2}}{T_y},$$



الشكل 2. حزمة الخواص الترددية لمطال العزم في الوصلة المرنة لحالة  $g = 1.5$  و  $0 \leq t_m < 0.3$ .



الشكل 3. حزمة الخواص الترددية لمطال العزم في الوصلة المرنة لحالة  $g = 1.5$  و  $t_m = 0.5$ .



الشكل 4. حزمة الخواص الترددية لمطال سرعة الآلة عند  $g = 1.5$  و  $0 \leq t_m < 0.3$ .

(ولذلك عند استخدام منظم تناسبي - تكاملي يُشترط بأن لا تزيد  $t_m = \frac{T_m}{T_y}$  على 0.3 [2])، أمّا عندما تصبح

$$-k = KT_y^2 = \frac{k_{RW}T_y^2}{T_m t_c} = \frac{k_{RW}T_y}{T_m b} \text{ و}$$

النسبي للجملة المفتوحة. كما أننا عوضنا متحول لابلاس النسبي  $s = T_y p$  بالقيمة  $(j\nu)$ .

إن علاقات الخواص الترددية للمطال (4) - (7) تمثل النموذج الرياضي للنظام ثنائي المكاملة ذي الكتل المزوجة في المجال الترددي.

من أجل دراسة هذا النموذج الرياضي كُتِبَ برنامجان مخصصان أحدهما يقوم برسم الخواص الترددية للمطال، والآخر يحسب البارامترات المثلى لهذه الخواص في النهايات الحديدية المثلى.

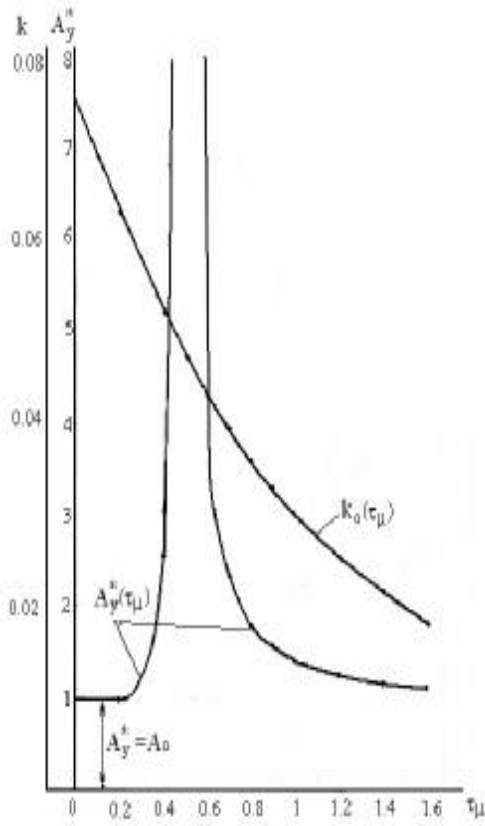
إن عزم الحمل  $M_L$  يشكل إشارة تشويش على جملة ثنائية المكاملة، لذلك فتأثيره في الجملة يكون محدوداً، لذلك سوف تتركز الدراسة في هذا البحث بشكل أساسي على العلاقاتين (4) و (5).

عند قيم معلومة لبارامترات النظام  $g, k, t_{m2}, t_m$  تصبح العلاقاتان (4) - (5) تابعتين للتردد النسبي  $\nu$  وللثابت الزمني النسبي لمنظم السرعة  $b_i$ .

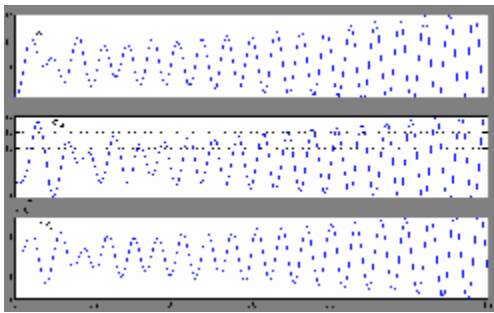
في فراغ هذين المتغيرين رُسمت حزمة منحنيات الخواص الترددية لمطال العزم في الوصلة المرنة المبيّنة في الشكلين (2) و (3) وحزمة منحنيات الخواص الترددية لمطال السرعة الزاوية للآلة المبيّنة في الشكلين (4) و (5).

نلاحظ من الشكلين (2) و (4) أنه عندما يكون الثابت الزمني النسبي لحلقة التيار  $t_m < 0.3$ ، تتشكل في حزمة منحنيات الخواص الترددية للمطال نهايتان حديتان مثالان  $A_{y0,2}$  و  $A_{y0,1}$  (انظر الشكل 2) تسمحان بتحديد بارامترات مثلى للنظام

لدرجة عدم استقرارها، وذلك عندما تقع  $t_m$  في وسط المنطقة المحرمة (انظر الحالة العابرة المبينة في الشكل 7 لحالة  $t_m = 0.5$ ).



الشكل 6. علاقة ذروة الخواص الترددية للمطال (ومعامل تضخيم النظام) بالثابت الزمني النسبي لحلقة التيار  $t_m$ .



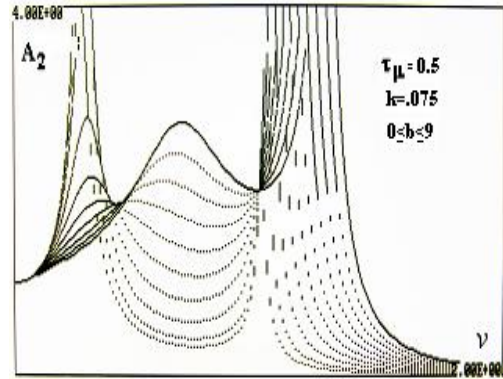
الشكل 7. الحالة العابرة عندما تكون  $t_m = 0.5$ .

ثم تعود الجملة للاستقرار إذا أصبحت  $t_m \geq 0.65$ ، ولكن للحصول على هذا الاستقرار يجب تخفيض قيمة معامل تضخيم الجملة بزهاء 3.5 مرة، مما يؤدي إلى

$t_m \geq 0.3$ ، فيحصل في منطقة الترددات العالية تأرجح كبير (طنين كهروميكانيكي) لا يمكن السيطرة عليه بواسطة منظم PI (انظر الشكلين (3) و (5)).

من أجل تحديد مجال الطنين الكهروميكانيكي تُرست في هذا البحث علاقة التآرجح النسبي للوصلة المرنة بالثابت الزمني النسبي لحلقة التيار  $t_m$ :  $A_y^* = f(t_m)$ ، عند قيم مثلى لكل من معامل التضخيم  $k_0$  وللثابت الزمني النسبي لمنظم السرعة  $b_0$ ، ولمختلف قيم  $g$ .

إذ:  $A_{y \max, 2}$  - أقل قيمة عظمى في حزمة منحنيات الخواص الترددية للمطال في مجال الترددات العالية، و  $A_{y0,2} = A_y (v=1)$  - القيمة المثلى لمطال الخواص الترددية في مجال الترددات العالية.



الشكل 5. حزمة الخواص الترددية لمطال سرعة الآلة لحالة  $t_m = 0.5$  و  $g = 1.5$ .

يتبين من خلال تحليل النتائج، المبينة على مثال الشكل (6) لحالة  $g = 3$  (الأشكال الحاصلة لمختلف قيم  $g$  متشابهة)، بأنه عندما تكون  $t_m < 0.3$  يكون للتأرجح قيمة مثلى  $A_y^* \cong 1$  أي إن  $A_{y \max, 2} = A_{y0,2} = A_y (v=1)$ . أما عندما تقع  $t_m$  ضمن، ما سنطلق عليها تسمية "المنطقة المحرمة"  $0.65 > t_m \geq 0.3$ ، يصبح تأرجح الجملة كبيراً جداً

إذ:  $d = \frac{t_D}{T_y}$  - ثابت تفاضل المنظم PID بوحدات

تخفيض دقة الجملة في الحالة الديناميكية، وتصبح الجملة بعيدة كل البعد عن الجملة المثلى.

نسبية.

مما تقدم وبعد التأكد من عدم استقرار الجملة من خلال

باستخدام حزمة البرامج المخصصة لهذا البحث تُرسّ التابع (8) لحالة  $t_m = 0.5$ .

رسم الحالة العابرة لحالة  $t_m = 0.5$  كما هو مبين في

يمكن تلخيص نتائج هذه الدراسة بما يأتي:

الشكل 7، نجد أن استخدام منظم سرعة تناسبي-تكاملي

1- عند  $t_D = 0$  تكون الجملة غير مستقرة وهذا

مع المنظومة ثنائية الكتل قد يؤدي إلى ظهور تأرجح

يتطابق مع الحالة المبينة في الشكل 5.

زائد قد يتسبب بتحطيم المنظومة بالكامل، ولذلك فمن

2- إن مجال تغيّر  $t_D$  الذي يمكن أن يحقق قيمة مثلى

الأنسب (بل ومن الضروري في حال كانت  $t_m \geq 0.3$ )

لدليل التآرجح هو مجال واسع جداً:

استخدام منظم PID مع هذه المنظومة، لتحقيق تحكم أمثل

بها (أي للتخلص من الطنين).

$$6 > \frac{t_D}{2T_m} > 0.3$$

4- دراسة تأثير ثابت التفاضل الزمني  $t_D$  في تأرجح

النظام وتحديد قيمه المثلى:

ويكون في هذا المجال شكل حزمة منحنيات الخواص

كما ذكرنا في الفقرة السابقة فإن الهدف من استخدام

الترددية للمطال مشابهاً تماماً لما هو مبين في الشكل 4.

منظم PID هو التخلص من حالة عدم الاستقرار التي

3- عندما تصبح  $\frac{t_D}{2T_m} > 6$  تفقد الخواص الترددية

يمكن أن تحصل في نظم القيادة الكهروميكانيكية مع

للمطال تدريجياً شكلها المألوف (مع نهايات حدية مثلى)

منظم PI بسبب الطنين الكهروميكانيكي، لذلك أُجريت

كما هو مبين في الشكل 8. يمكن تعليل هذا الأمر بوضع

هذه الدراسة لحالة  $t_m = 0.5$ ، أي عندما تقع  $t_m$  في

1  $t_D s \gg 1$  في (3) فيختصر أحد عناصر التكامل

وسط المنطقة المحرمة (انظر الشكل 6).

وتصبح الجملة مشابهاً للجملة أحادية المكاملة.

إن الخواص الترددية لمطال سرعة الآلة - مع الأخذ

4- عندما تكون  $0.05 < \frac{t_D}{2T_m} \leq 0.3$  يكون دليل

بالحسبان العلاقتين (1) و (3) - لها الشكل الآتي:

التأرجح في مجال الترددات العالية أكبر من القيمة المثلى

$$A_2 = \frac{k\sqrt{(1-bdv^2)^2 + (b+d)^2v^2}}{|Q(jv)|} \quad (8)$$

يأخذ المقام في (8) الشكل الآتي:

لدليل التآرجح كما هو مبين في الشكل 9.

دليل التآرجح (Index of oscillation) - هو نسبة القيمة

العظمى للخواص الترددية لمطال الجملة المغلقة إلى

قيمتها عند التردد الصفري.

يبين الشكل 10 علاقة دليل التآرجح بثابت التفاضل

النسبي. وهو يوضح مختلف حالات تغيّر  $t_D$  المذكورة

سابقاً.

$$|Q(jv)| = \sqrt{\begin{aligned} & [k - (1 + kg + kbd)v^2 + \\ & (1 + 2t_m^2 + kbdg)v^4 - \\ & [2t_m^2v^6]^2 + [kv(d + b) - \\ & (2t_m + kdg + kbg)v^3 + \\ & 2t_mv^5]^2 \end{aligned}}$$

5-معايير التحكم الأمثل بالنظم الكهروميكانيكية ذات الكتل المزدوجة مع منظم تناسبي-تكاملي-تفاضلي (PID):

اتضح مما سبق أن مجال تغير  $t_D$  الذي يحقق قيمة مثلى لدليل التآرجح هو المجال:

$$6 > \frac{t_D}{2T_m} > 0.3$$

هذا يعني أن بإمكاننا أخذ أي قيمة لثابت النفاصل  $t_D$  ضمن المجال المذكور.

لذلك وبهدف تبسيط الدراسة نضع في العلاقة (3)  $t_D = 2T_m$ ، فننتخلص بذلك من تأثير  $t_m$ ، ويصبح النموذج الرياضي للجملة على الشكل الآتي:

-الخواص الترددية لمطال العزم في الوصلة المرنة (عندما تكون  $V_C^*$  هي إشارة الدخل):

$$A_y = \frac{t_{m2} k v \sqrt{1+b^2 v^2}}{|Q_1(jv)|} \quad (9)$$

-الخواص الترددية لمطال السرعة الزاوية للآلة الميكانيكية (عندما تكون  $V_C^*$  هي إشارة الدخل):

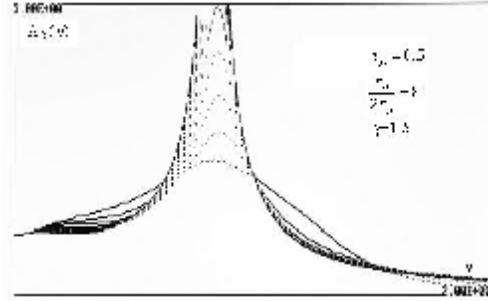
$$A_2 = \frac{k \sqrt{1+b^2 v^2}}{|Q_1(jv)|} \quad (10)$$

إذ:

$$|Q_1(jv)| = \sqrt{[k(1-gv^2) - v^2(1-v^2)]^2 + [bkv(1-gv^2)]^2}$$

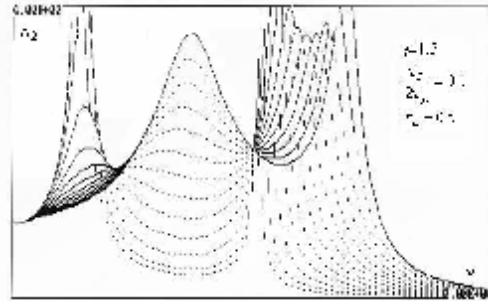
تتصف منظومات القيادة الكهربائية ذات الكتل المزدوجة بالتأرجح الزائد، وبشكل خاص يظهر ذلك في العنصر المرن، وكذلك في الآلة الميكانيكية عندما تكون نسبة الكتل  $g < 2$ . ولذلك وضعت في هذا العمل مسألة تحديد أقل تأرجح ممكن للمنظومة الذي يمكن تقييمه بحسب القيمة العظمى للخواص الترددية للمطال.

من العلاقتين (9) و (10) رُسمت في فراغ التردد النسبي  $v$ ، والثابت الزمني النسبي لمنظم السرعة  $b_i$  (عند قيم



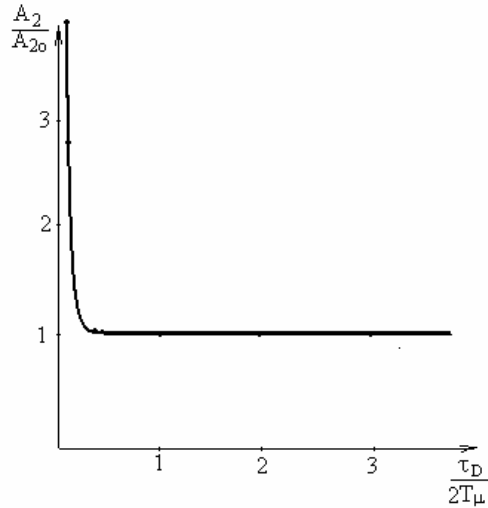
الشكل 8. حزمة الخواص الترددية لمطال سرعة الآلة لحالة

$$\frac{t_D}{2t_m} = 8 \text{ و } t_m = 0.5$$



الشكل 9. حزمة الخواص الترددية لمطال سرعة الآلة لحالة

$$\frac{t_D}{2t_m} = 0.1 \text{ و } t_m = 0.5$$



الشكل 10. علاقة دليل التآرجح بثابت النفاصل النسبي  $\frac{t_D}{2T_m}$



2-أخفض قيمة للذروة العمومية في منحنى حزمة الخواص الترددية لمطال سرعة الآلة عند تغيير معامل التضخيم  $k_i$ ، والثابت الزمني النسبي لمنظم السرعة  $b_i$ .

$$\min_{b_i, k_i} \left\{ \max_{\nu} A_2(\nu) \right\}, \nu \in (0, \nu_K) \quad (12)$$

إن العلاقتين (11) و (12) تعنيان بأنه يجب أن نغير البارامترات  $k, b$  حتى نحصل على أقل ذروة من بين ذروات الخواص الترددية للمطال (دليل التآرجح)، بتغيير التردد النسبي من الصفر حتى التردد النسبي النهائي  $\nu_K$ .

3- أقل قيمة لدليل تآرجح الآلة عند إعطاء قيمة معامل التضخيم  $k_r$  وتغيير الثابت الزمني النسبي  $b_i$ .

$$\min_{b_i, k_i = k_r} \left\{ \max_{\nu} A_2(\nu) \right\}, \nu \in (0, \nu_K) \quad (13)$$

العلاقة (13) تعني بأن نقوم بإعطاء معامل التضخيم نفسه المحسوب من خلال طرائق ضبط معروفة سابقاً للجملة ثم نغير البارامتر  $b$ ، حتى نحصل على أقل دليل تآرجح. ومن أجل حساب كل دليل تآرجح يتم تغيير التردد النسبي من الصفر حتى التردد النسبي النهائي  $\nu_K$ .

4- أكبر معامل تضخيم عند إعطاء قيمة دليل التآرجح للآلة وتغيير الثابت الزمني النسبي لمنظم السرعة  $b_i$ .

$$\max_{b_i, \nu} k \mid A_2 = A_{2OPT}, \nu \in (0, \nu_K) \quad (14)$$

العلاقة (14) تعني بأن نقوم بإعطاء دليل التآرجح نفسه المحسوب من خلال طرائق ضبط معروفة سابقاً للجملة ثم نغير البارامتر  $b$ ، حتى نحصل على أعلى معامل تضخيم ممكن. ومن أجل حساب كل معامل تضخيم يتم تغيير التردد النسبي من الصفر حتى التردد النسبي النهائي  $\nu_K$ .

معلومة لبارامترات الجملة الأخرى  $(t_{m2}, k, g)$  الأشكال (2) و(4) لحزمة منحنيات الخواص الترددية للمطال. ومن أجل قيم  $b$  نحصل على مقاطع كل منها عبارة عن الخاصة الترددية للمطال المعروفة للجملة ذات الكتل المزدوجة.

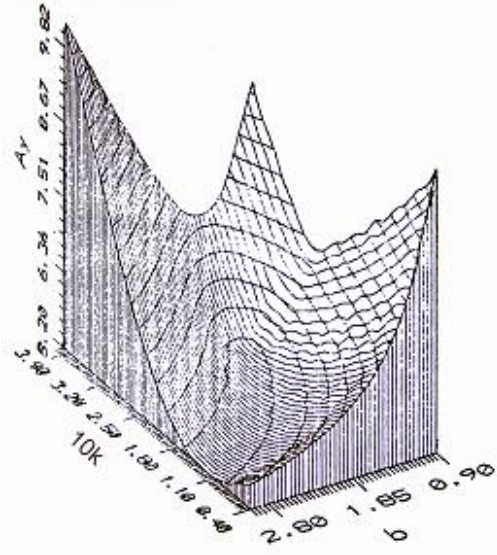
تُظهر هذه الأشكال الفرق بين ما هو وارد في المراجع العلمية حول نتائج التحكم الأمثل بالمنظومات ثنائية المكاملة ذات الكتلة الواحدة [6] والمنظومات ذوات الكتل المزدوجة التي لها خاصية جوهرية ملموسة، تكمن في الشكل المميز للخواص الترددية للمطال مع قيمتين عظمتين (ذروتين)، وعليه فإن قيمة هاتين الذروتين ومكانتهما تتعلق ببارامترات تصميم المنظومة وضبطها. إن زيادة متطلبات الدقة والموثوقية لعمل جمل قيادة المنظومات الكهروميكانيكية تتطلب تحديد بارامترات المنظمات التي تحقق الحد الأدنى لهاتين القيمتين العظمتين، وهذا يحتم من الناحية الرياضية إيجاد النهايات الحدية المثلى في فراغ البارامترات المتغيرة لحزمة الخواص الترددية للمطال.

أُجريت في هذا العمل البحوث اللازمة، بمساعدة الحاسوب، لجعل الخواص الترددية لمطال الجمل التعاقبية ذات الكتل المزدوجة مع الوصلة المرنة بالشكل الأمثل مع استخدام المعايير التالية لتقييم أمثلية التحكم:

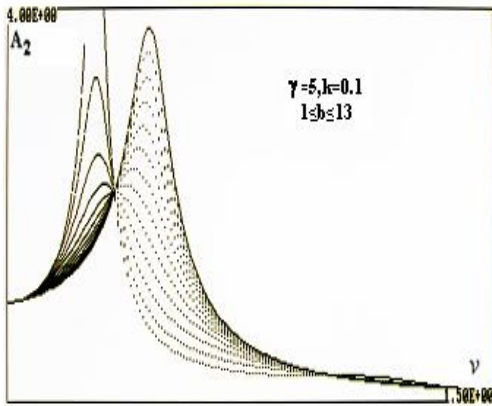
1- أخفض قيمة للذروة العمومية في منحنى حزمة الخواص الترددية لمطال عزم المرونة عند تغيير معامل التضخيم  $k_i$ ، والثابت الزمني النسبي لمنظم السرعة  $b_i$ ، الذي يحدد تردد الانكسار المنخفض في خواص التردد اللوغارتمية لمطال الجملة المفتوحة.

$$\min_{b_i, k_i} \left\{ \max_{\nu} A_r(\nu) \right\}, \nu \in (0, \nu_K) \quad (11)$$

(الذروة العمومية - هي الذروة العليا من بين الذروتين).



الشكل 11. مجسم قيم الذروات العمومية الصغرى في حزم الخواص الترددية لمطال العزم في الوصلة المرنة لحالة  $g = 1.5$ .



الشكل 12. حزمة الخواص الترددية لمطال سرعة الآلة عند  $g = 5$ .

#### 6- دراسة النظام بالنسبة إلى عزم الحمل:

دُرِسَ في هذه الفقرة النظام بحسب العلاقات (6) و(7)،

أي عندما تكون إشارة الدخل هي عزم الحمل  $M_L^*$ .

يبين الشكلان (13) و (14) حزمتي الخواص الترددية

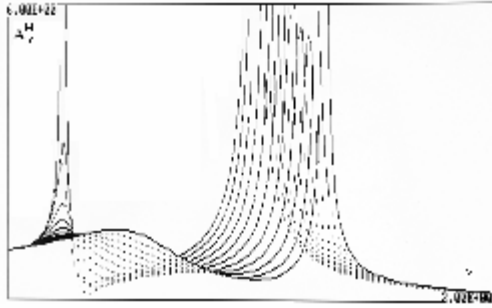
لمطال سرعة الآلة وعزم المرونة عندما تكون إشارة

الدخل هي عزم الحمل  $M_L^*$ .

يتبين من خلال تحليل حزمة منحنيات الخواص الترددية للمطال بأن تغيير معامل التضخيم يؤثر في وضع النهاية الحدية الأولى (1)، فعند زيادة معامل التضخيم تنتقل هذه النهاية الحدية للأعلى وعند نقصانه - للأسفل بحسب المسار المرسوم على الشكل 2، أما وضع النهاية الحدية الثانية (2) فلا يتغير بتغيير معامل التضخيم.

في فراغ البارامترين  $b$  و  $k$  رُسمت مجسمات ثلاثية البعد لقيم الذروات العمومية في منحنى حزمة الخواص الترددية للمطال. يتضح بأن لهذه المجسمات (انظر الشكل 11) شكلاً مميزاً (واد ضيق) له قعر يمثل مجموعة نقاط تطابق القيمة الصغرى لذرى الخواص الترددية للمطال، ويظهر قيمة صغرى (min) غير صارمة، هذا يعطينا حرية اختيار أكبر معامل تضخيم من بين مجموعة قيمه (هذا يعطي أكبر دقة وأقل تأرجحاً للنظام) وتكون النهايتان الحديتان المثاليتان في حزمة الخواص الترددية للمطال على مستوٍ واحد. بهذا تكمن فكرة معياري التحكم الأمثل الأول والثاني.

المعياران الثالث والرابع للتحكم الأمثل يمكن أن ينسبا إلى حالة خاصة عندما يكون للخواص الترددية للمطال نهاية حدية مثلى واحدة، وهذا يظهر عندما يكون أحداثيا الخرج المقاد هو سرعة الآلة لحالة  $g > 2$  (انظر الشكل 12). كما يمكن استخدام المعيارين الثالث والرابع في حال وجود نهايتين حديتين ولكن ارتفاع الأولى أعلى من ارتفاع الثانية.



الشكل 15. حزمة الخواص الترددية لمطال العزم في الوصلة المرنة بالنسبة إلى عزم الحمل لحالة  $t_m = 0.5$  و  $g = 2$ . أمّا بالنسبة إلى أوجه التباين فهي بسيطة وبديئية فعندما يكون إشارة دخل:  $M_L^*$

- يكون دليل تأرجح سرعة الآلة صغيراً.
- عند تردد يساوي الصفر، أي في الحالة المستقرة، يصبح الخطأ بالنسبة إلى السرعة يساوي الصفر، ويصبح للعزم قيمة معينة عند هذا التردد.

#### 7- تحديد البارامترات المثلى للنظام:

لتحديد البارامترات المثلى للنظام نستخدم الشروط الكافية والواقية لوجود نهايات حدية مثلى:

$$\frac{\partial A}{\partial v} = 0, \quad \frac{\partial^2 A}{\partial v^2} < 0$$

$$\frac{\partial A}{\partial b} = 0, \quad \frac{\partial^2 A}{\partial b^2} - \left( \frac{\partial^2 A}{\partial b^2} \right) / \left( \frac{\partial^2 A}{\partial v^2} \right) > 0$$

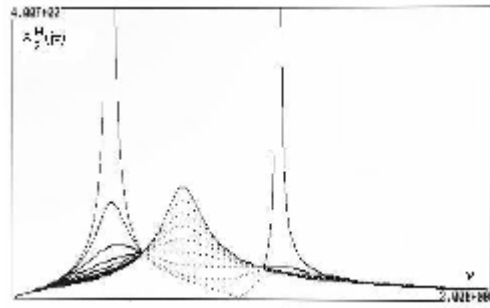
(15)

هنا لم نكتب دلالات A (2) و (y) بهدف التعميم.

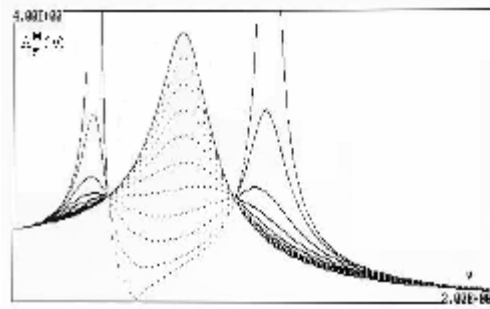
بمساعدة هذه الشروط نحدد مختلف البارامترات المثلى للنظام. فلتحديد القيمة المثلى لمعامل التضخيم - بحسب

الشروط (15) - نُجري الاشتقاق الجزئي  $\frac{\partial A_y}{\partial b}$  للعلاقة

(9) ونساويه بالصفر:



الشكل 13. حزمة الخواص الترددية لمطال سرعة الآلة بالنسبة إلى عزم الحمل عند  $g = 2$ .



الشكل 14. حزمة الخواص الترددية لمطال العزم في الوصلة المرنة بالنسبة لعزم الحمل لحالة  $g = 2$ .

إن دراسة النظام بالنسبة إلى عزم الحمل  $M_L^*$  أظهرت تشابهاً تاماً مع الدراسة التي تمت بالنسبة إلى إشارة التحكم  $V_C^*$ ؛ وذلك من حيث:

- وجود نهايتين حديتين مثاليتين أو نهاية حدية واحدة في حزمة الخواص الترددية للمطال بحسب قيمة  $g$ . لذلك فمعايير التحكم الأمثل السابقة تبقى نفسها عند دراسة النظام بالنسبة إلى عزم الحمل (انظر الشكلين 13 و 14).

- ظهور الطنين الكهروميكانيكي عند استخدام منظم نوع PI و  $t_m \geq 0.3$  كما يبين الشكل 15. نلاحظ من هذا الشكل أيضاً عدم تقاطع المنحنيات في منطقة الترددات العالية واختفاء النهاية الحدية المثلى الثانية.

$$(1 + 2b^2v^2)\{[k(1 - gv^2) - v^2(1 - v^2)]^2 + b^2k^2v^2(1 - gv^2)^2\} - v(1 + b^2v^2)\{[k(1 - gv^2) - v^2(1 - v^2)][-2kgv - 2v(1 - 2v^2)] + vb^2k^2(1 - gv^2)(1 - 3gv^2)\} = 0$$

نعوض k بقيمته المثلى من (16) ثم نختصر على المقدار  $v^4(1 - v^2)^2$  فينتج:

$$(1 + 2b^2v^2)(1 - v^2)(1 - gv^2) - 2gv^2(1 - v^2) - 4(1 - 2v^2)(1 - gv^2) - b^2v^2(1 - 3gv^2)(1 - v^2) = 0$$

ومن هنا نحصل على:

$$b^2v^2(1 - v^2)(1 + gv^2) = 5gv^4 + 3 - v^2(g + 7)$$

إذاً فإن قيمة الثابت الزمني النسبي لمنظم السرعة في النهاية الحدية المثالية الأولى هي:

$$b_{yo,1} = \frac{1}{v} \sqrt{\frac{(5gv^4 + 3) - v^2(g + 7)}{(1 + gv^2)(1 - v^2)}} \quad (18)$$

إن النهايات الحدية المثلى هي نقاط تقاطع منحنيات الخواص الترددية للمطال، ويمكن إثبات ذلك من خلال العلاقة (9) بمساواة  $A_y(b_1) = A_y(b_2)$  فنحصل على:

$$(1 + b_1^2v^2)\{[k(1 - gv^2) - v^2(1 - v^2)]^2 + b_2^2k^2v^2(1 - gv^2)^2\} = (1 + b_2^2v^2)\{[k(1 - gv^2) - v^2(1 - v^2)]^2 + b_1^2k^2v^2(1 - gv^2)^2\}$$

أو

$$k^2v^2(1 - gv^2)^2(b_2^2 - b_1^2) + [k(1 - gv^2) - v^2(1 - v^2)]^2(b_1^2 - b_2^2)v^2 = 0$$

إذاً:

$$k(1 - gv^2) - v^2(1 - v^2) = \pm k(1 - gv^2)$$

بأخذ إشارة الزائد (+)، ينتج:

$$v^2(1 - v^2) = 0 \Rightarrow v = 0 \text{ و } v = \pm 1$$

$$\frac{\partial A_y}{\partial b} = \frac{2bv^3t_{m2}k}{2\sqrt{1 + b^2v^2}} |Q_1(jv)| - \frac{2bk^3v^3t_{m2}(1 - gv^2)^2\sqrt{1 + b^2v^2}}{2|Q_1(jv)|} = 0$$

نضرب بالمقدار  $\sqrt{1 + b^2v^2} |Q_1(jv)|$  فنحصل على:

$$[k(1 - gv^2) - v^2(1 - v^2)]^2 + b^2k^2v^2(1 - gv^2)^2 - k^2(1 - gv^2)^2(1 + b^2v^2) = 0$$

بفك الأقواس والاختصار نحصل على قيمة معامل التضخيم الأمثل:

$$k_o = \frac{v^2(1 - v^2)}{2(1 - gv^2)} \quad (16)$$

تُظهر العلاقة (16) المعنى الفيزيائي لطريقة ضبط النظام المقترح التي تتميز عن طرائق الضبط التقليدية للجمل التعاقبية [5]، بأنها تعوض عن التأثير الاهتزازي لعنصر المرونة في الجزء الميكانيكي من النظام  $(1 + gT_y^2s)/(1 + T_y^2s)$  في الجملة. كما أننا قد وجدنا أن هذه العلاقة (16) مشتركة لإحداثيات الخرج المُفادَة جميعها.

لإيجاد القيمة المثلى لبارامتر المنظم b نقوم بإجراء الاشتقاق الجزئي  $\frac{\partial A_y}{\partial v}$  في النقطة  $k_o(v)$  ونساويه بالصفر:

$$\frac{\partial A_y}{\partial v} = (kt_{m2}\sqrt{1 + b^2v^2} + \frac{2b^2v^2t_{m2}k}{2\sqrt{1 + b^2v^2}}) |Q_1(jv)| - kt_{m2}v\sqrt{1 + b^2v^2} \{[k(1 - gv^2) - v^2(1 - v^2)][2kgv - 2v(1 - 2v^2)] + vbk(1 - gv^2)[bk(1 - gv^2) - 2bkgv^2]\} / |Q_1(jv)| = 0 \quad (17)$$

نضرب بالمقدار  $\sqrt{1 + b^2v^2} |Q_1(jv)|$  فنحصل على:

$$v_{yo,1} = \frac{-t_{m2} + \sqrt{t_{m2}^2 + 4gA_y^2}}{2gA_y} \quad (25)$$

بوضع العلاقة (23) في (25) نجد بأن التردد النسبي في النهاية الحدية المثلى الأولى عندما تكون النهايتان الحديتان على المستوى نفسه:

$$v_{yo,1} = \frac{1}{g} \quad (26)$$

بوضع قيمة التردد الأمثل من (26) في (16) و (18) ثم وضع قيمة  $k_{yo}$  الحاصلة (العلاقة (27) التالية) في (22) نحصل على علاقات تحديد بارامترات ضبط النظام بحسب المعيار الأمثل الأول:

$$k_{yo} = \frac{g+1}{2g^3} \quad (27)$$

$$b_{yo,1} = \frac{g}{g+1} \sqrt{(g-1)(3g+5)} \quad (28)$$

$$b_{yo,2} = \sqrt{\frac{2}{k(1+g)} - 1} = \sqrt{\frac{4g^3}{(g+1)^2} - 1} \quad (29)$$

نختار القيمة الأعلى من بين قيمتي  $b$  وذلك من أجل الحصول على سرعة الاستجابة العليا، أي:

$$b_{yo} = b_{yo,1} \quad \text{if} \quad b_{yo,1} > b_{yo,2}$$

$$b_{yo} = b_{yo,2} \quad \text{if} \quad b_{yo,2} > b_{yo,1}$$

بشكل مشابه لما سبق نحدد البارامترات المثلى للنظام عندما يكون الإحداثي المُقاد هو سرعة الآلة. فمن أجل ضبط النظام بحسب معيار التحكم الأمثل الثاني، أي عندما تكون النهايتان الحديتان على المستوى نفسه فإن:

$$k_{20} = \frac{2-g}{g^2} \quad (30)$$

$$b_{20,1} = \frac{\sqrt{2g(g-1)}}{2-g} \quad (31)$$

$$b_{20,2} = \sqrt{\frac{2}{k(1+g)} - 1} \quad (32)$$

بهذا الشكل نستنتج أن القيمة المثلى لتردد الذروة الواقعة في مجال الترددات العالية هي نقطة تقاطع منحنيات الخواص الترددية للمطال وتساوي:

$$v_{o2} = 1 \quad (19)$$

وبأخذ إشارة ناقص (-) ينتج:

$$k = k_o = \frac{v^2(1-v^2)}{2(1-gv^2)} \quad (20)$$

ومن العلاقة (20) يمكن إيجاد علاقة تردد النهاية الحدية المثلى الأولى بمعامل التضخيم:

$$v_{o1} = \frac{1}{\sqrt{2}} \sqrt{1+2kg - \sqrt{(1+2kg)^2 - 8k}} \quad (21)$$

بمقارنة العلاقة (16) مع (20) نستنتج أن نقطتي تقاطع منحنيات الخواص الترددية للمطال هما النهايتان الحديتان المتلتان.

نضع القيمة المثلى للتردد النسبي في النهاية الحدية الثانية من (19) في (17) فنحصل على الثابت الزمني النسبي الأمثل لمنظم السرعة في هذه النهاية:

$$k(1+2b^2)(1-g) + 2kg - 2 - b^2k(1-3g) = 0$$

$$b_{yo,2} = \sqrt{\frac{2}{k(1+g)} - 1} \quad (22)$$

لتحديد القيمة العظمى للمطال في النهاية الحدية الثانية التي تمثل القيمة العظمى المثلى لمطال عزم المرونة في النظام، نضع  $v = v_{o2} = 1$  في (9) فنحصل على:

$$A_{yo} = A_{yo,2} = \frac{t_{m2}}{g-1} \quad (23)$$

وبوضع قيمة  $k_o$  من (20) في (9) نحصل على القيمة العظمى المثلى للمطال في النهاية الحدية الأولى:

$$A_{yo,1} = \frac{t_{m2}v}{1-gv^2} \quad (24)$$

ومنه نحدد التردد في النهاية الحدية الأولى:

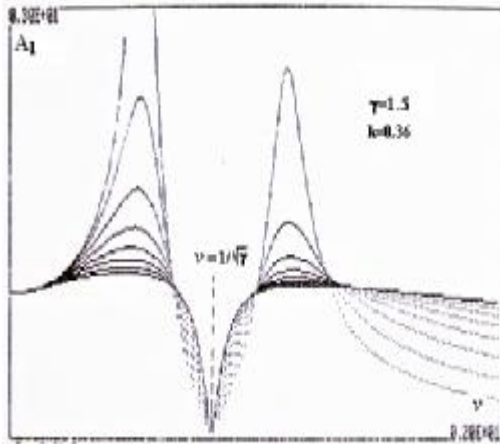
للمطال تساوي الصفر عند التردد  $\nu = \frac{1}{\sqrt{g}}$ ، أي إن

زمن الحالة العابرة للنظام يتناسب طردياً مع القيمة:

$$t_o = \sqrt{g} \quad (37)$$

أمّا دليل التّأرجح فيتناسب عكساً مع  $g$  (انظر العلاقة (36)). بمساواة (36) و (37) نحصل على قيمة  $g$  التي تحقق سرعة استجابة مثلى ودليل تأرجح أمثل في وقت واحد وهي:

$$g_o = 1.755 \quad (38)$$



الشكل 16. حزمة منحنيات الخواص الترددية لمطال سرعة المحرك لحالة  $0 \leq t_m < 0.3$  و  $g = 1.5$ .

كما هو معلوم يُمكن تغيير قيمة  $g$  [1] والوصول من ثمّ إلى قيمتها المثلى، وذلك بإضافة تغذية عكسية سالبة إلى الفرق بين سرعة المحرك وسرعة الآلة (انظر الخط المتقطع على الشكل 1 والشكل 18).

بعد تحديد القيم المثلى  $k_o, b_o$  بواحدات نسبية يجب الانتقال من القيم النسبية إلى القيم المطلقة للثابت الزمني لمنظم السرعة  $t_c$  ولعامل تضخيمه  $K_{RW}$  كما يأتي:

$$\begin{aligned} t_c &= b_o T_y \\ K &= \frac{k_o}{T_y^2} \\ k_{RW} &= t_c T_m K \\ K_{RW} &= k_{RW} \frac{I_n K_i}{W_n K_w} \end{aligned} \quad (39)$$

نختار أيضاً القيمة العليا من بين قيمتي  $b$  وذلك من أجل الحصول على سرعة الاستجابة الأعلى، أي إن:

$$b_{2o} = b_{2o,1} \quad \text{if} \quad b_{2o,1} > b_{2o,2}$$

$$b_{2o} = b_{2o,2} \quad \text{if} \quad b_{2o,2} > b_{2o,1}$$

نلاحظ من العلاقة (30) ومن الأشكال (12) و (4) أن هذه العلاقات صالحة لحالة  $g < 2$  فقط.

ومن أجل ضبط النظام بحسب المعيارين الثالث والرابع حصلنا على العلاقات الآتية:

$$b_{2o,1} = \sqrt{\frac{A_2 g \{ (A_2 - 1) [A_2 (g - 1) + 1] + 2 [A_2 (g - 2) + 2] \}}{(A_2 - 1)^2 [A_2 (g - 1) + 1]}} \quad (33)$$

$$k_{2o} = \frac{(A_2 - 1) [A_2 (g - 1) + 1]}{2gA_2^2} \quad (34)$$

$$A_{2o,1} = \frac{2}{2 - g [1 + 2kg - \sqrt{(1 + 2kg)^2 - 8k}]} \quad (35)$$

تُحسبُ البارامترات المثلى من هذه العلاقات، وذلك بإعطاء دليل التّأرجح المطلوب  $A_2$  ويُحسبُ عامل التضخيم النسبي  $k_{2o}$  من العلاقة (34) والثابت الزمني النسبي لمنظم السرعة  $b_{2o}$  من العلاقتين (33) و (32) ونأخذ القيمة الكبرى من بين القيمتين، أي الضبط بحسب المعيار الرابع أو إعطاء  $k$  ويُحسبُ  $A_{2o,1}$  من (35) و  $b_{2o}$  من (32) أو (33)، أي الضبط بحسب المعيار الثالث.

فضلاً عن هذه العلاقات فقد استُنتجت علاقة تحديد دليل التّأرجح الأمثل لسرعة الآلة في النهاية الحدية الثانية:

$$A_{2o,2} = \frac{1}{g - 1} \quad (36)$$

لتحديد معامل نسبة الكتل ( $g$ ) الأمثل نرسم حزمة الخواص الترددية لمطال سرعة المحرك المبينة في الشكل 16. فمن هذا الشكل نلاحظ أن الخواص الترددية

## 2-8- المعطيات الأساسية لنظام قيادة مدرفلة:

نُدرج في الجدول 2 أهم بارامترات نظام قيادة كهربائية لمدرفلة معادن مدينة كريفوي روغ، التي يقودها محرك تيار مستمر ذو استطاعة 6800kW.

الجدول 2. البارامترات الأساسية لنظام قيادة الاسطوانات العلوية لمدرفلة معادن.

المعطيات الاسمية لمحرك التيار المستمر		
نوع المحرك	الاستطاعة $P_n, kW$	عزم العطالة $J_1, kg \cdot m^2$
P24/160-6.8	6800	$8 \cdot 10^4$
السرعة الزاوية $w_n, sec^{-1}$	النوتر الاسمي $V_n, V$	تيار المتحرض الاسمي $I_{an}, A$
6.28	850	8460
تيار التهيج الاسمي $I_{fn}, A$	مقاومة المتحرض $R_a,$	عامل التحريض الذاتي لمتحرض $L_a, H$
467	$6 \cdot 10^{-3}$	$5 \cdot 10^{-4}$
معطيات الجزء الميكانيكي والعنصر المرن		
معامل قساوة الوصلة المرنة $C_{12}, N \cdot m$	عزم العطالة $J_2, kg \cdot m^2$	العزم الاسمي $M_n = M_L$ $N \cdot m$
$9.2336 \cdot 10^7$	$1.5 \cdot 10^4$	$108 \cdot 10^4$
الداخلي، معامل الاحتكاك $N \cdot m \cdot sec$ $b_{12}$		
$7.5 \cdot 10^4$		
بارامترات المبدلة الثايرستورية والتغذيات الخلفية		
معامل الخلفية المحركة الكهربائية $k_f$	معامل تضخيم المبدلة $k_{TC}$	الثابت الزمني للمبدلة $T_m, sec$
127.5	56.67	0.005
معامل التغذية الخلفية بالتيار $k_i$		
معامل الخلفية بالسرعة $k_w$		
2.39	0.00178	

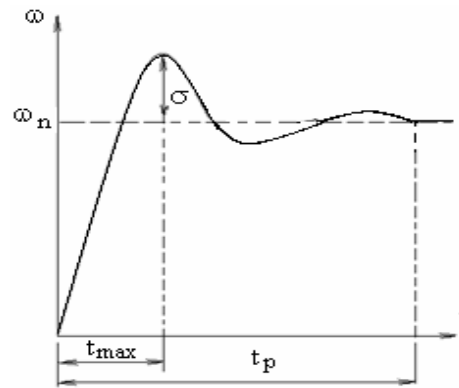
نحسب البارامترات الأخرى اللازمة لمحاكاة النظام وندرجها - مع العلاقات التي حسبت منها - في الجدول .

إذ:  $K_i, K_w$  -معاملا تحويل التغذية العكسية بالسرعة والتيار على الترتيب.

## 8- المقارنة وتحليل النتائج:

قبل إجراء هذه المقارنة، لابد من تعرّف بعض بارامترات الأداء الديناميكي (Dynamic parameters of quality) لنظم القيادة الكهربائية الآلية.

## 1-8- بارامترات الأداء الديناميكي لنظم القيادة الكهربائية: (انظر الشكل 17)



الشكل 17. لتوضيح بعض بارامترات الأداء الديناميكي لنظم القيادة الكهربائية.

أ- زيادة التنظيم: وهي عبارة عن مقدار الخطأ الديناميكي الأعظم، وتُعبّر عن مقدار انحراف الحالة العابرة عن القيمة المستقرة ( $w_n$ ) عند الزمن  $t_{max}$ . وتحسب عادة كنسبة مئوية:

$$s \% = \frac{s}{w_n} \cdot 100 \quad (40)$$

ب- زمن الحالة العابرة  $t_p$ : وهو الزمن الذي تتخامد خلاله جميع المركبات الحرة للحالة العابرة ويحسب من لحظة بدء الحالة العابرة  $t=0$  وحتى استقرارها.

ج- الانحراف المعياري: وهو الجذر التربيعي لمتوسط مربع انحرافات الحالة العابرة عن القيمة المستقرة:

$$e = \sqrt{\frac{\sum_{i=1}^n (w_i - w_n)^2}{n}} \quad (41)$$

أي إنّ الانحراف المعياري يساوي لجذر خطأ مربع التكامل.

الجدول 3.

$g = \frac{J_1 + J_2}{J_1}$	$T_{m1} = J_1 \frac{W_n}{M_n},$ sec
1.1875	0.464
$T_{m2} = J_2 \frac{W_n}{M_n},$ sec	$T_m = T_{m1} + T_{m2},$ sec
0.087	0.55
$T_c = \frac{M_n}{C_{12} \cdot W_n},$ sec	$T_y = \sqrt{\frac{T_{m1} T_{m2} T_c}{T_m}},$ sec
0.00186	0.0117

### 3-8 ضبط حلقة التيار:

يتألف نظام القيادة الكهربائية للمدرفلة بشكل أساسي -كما هو مبين في الشكل 18- من حلقة داخلية لتنظيم التيار (أو العزم) وحلقة خارجية لتنظيم السرعة.

نضبط حلقة التيار الداخلية بحسب المعيار النموذجي (التكنيكي) الأمثل كما يأتي:

-نحدد من الشكل 18 تابع تحويل الحلقة المراد التحكم بها:

$$W_o(s) = \frac{k_{TC} k_i / R_a}{(T_m s + 1)(T_a s + 1)} \quad (42)$$

-نكتب تابع التحويل المرغوب به المعروف لحلقة التيار المفتوحة:

$$W(s) = \frac{1}{2T_m s(T_m s + 1)} \quad (43)$$

-بقسمة (43) على (42) نحصل على تابع تحويل تناسبي-تكاملي لمنظم التيار:

$$W_{RI}(s) = \frac{R_a (T_a s + 1)}{2T_m k_{TC} k_i s} = \frac{T_a}{T_i} + \frac{1}{T_i s} \quad (44)$$

إذ:  $T_i$  - ثابت التكامل لمنظم التيار ويساوي:

$$T_i = \frac{2T_m k_{TC} k_i}{R_a} = 0.168 \text{sec}$$

و  $T_a = \frac{L_a}{R_a} = 0.0833 \text{sec}$  الثابت الزمني

الكهرومغناطيسي للمحرك.

### 4-8 المقارنة:

في هذه الفقرة وبهدف المقارنة الصحيحة سنجري المقارنة عند معامل التضخيم  $k$  نفسه.

نعد في هذه الفقرة أن التغذية الخلفية الإضافية (الخطان المنقطعان على الشكل 18) -التي تهدف إلى تغيير قيمة  $g$ - غير موجودة، هذا يعني عدم إجراء أي تغيير في بنية الجملة الأساسية  $g = 1.1875$ .

نحسب بارامترات منظم السرعة PID بطريقتين:

أ- بحسب الطريقة الواردة في العمل [1]:

$$k_{RW} = \frac{T_m}{T_y g^{3/4}} = 41.32 \quad (45)$$

$$K_{RW} = k_{RW} \frac{k_i I_{an}}{k_w W_n} = 41.32$$

$$t_c = 2g^{3/4} T_y = 0.0266 \text{sec} \quad (46)$$

$$K = \frac{k_{RW}}{t_c T_m} = 2824.33 \quad \text{ئ}$$

$$k = K T_y^2 = 0.3866 \quad (47)$$

$$W_{RW}(s) = K_{RW} \left( \frac{t_D + t_c}{t_c} + \frac{1}{t_c s} + t_D s \right) \\ = 56.854 + \frac{1553.4}{s} + 0.4132s$$

ب- بطريقة هذا البحث بحسب المعيار الأمثل الثالث.

-نحدد دليل التآرجح من العلاقة (35) ونضعه في العلاقة (33) عند معامل التضخيم السابق نفسه  $k = 0.3866$

فينتج:

$$A_{20,1} = 3.1656$$

$$b_{20,1} = 1.0782$$



من الجدول 4 يتضح أن زمن الحالة العابرة  $t_p$  انخفض (أي تحسن) بمقدار يزيد على 54% لإحداثيات جميعها الخرج مقابل ارتفاع زيادة التنظيم %S بمقدار 6% فقط لسرعة الآلة و 11% لسرعة المحرك مع تحسن طفيف 0.8% للعزم الأعظم في الوصلة المرنة.

عندما يتحسن أحد بارامترات الأداء ويسوء آخر يتم اللجوء إلى الانحراف المعياري (أو إلى خطأ تكامل التربيع)، الذي يعبر -بشكل غير مباشر- عن مساحة الخطأ بين منحنى الحالة العابرة والقيمة المطلوبة (المستقرة) للسرعة أو العزم.

من الجدول 4 يتضح أن الانحراف المعياري  $e$  تحسن بمقدار 10% بالنسبة إلى سرعة الآلة و 15% بالنسبة إلى العزم في الوصلة المرنة. لذلك نستنتج أن طريقة هذا البحث تتفوق على الطريقة السابقة.

نستنتج من خلال النظر إلى الشكلين 20 و 21 بأنه عندما تكون قيمة معامل نسبة الكتل  $g$  صغيرة يجب اللجوء إلى إجراءات إضافية من أجل تحسين الحالات العابرة، ومن بين هذه الإجراءات ما يسمى التصحيح التفرعي الذي يؤدي إلى تغيير قيمة  $g$  إلى القيمة المطلوبة.

9- الحالات العابرة عند جعل  $g = g_0$ :

توصلنا في هذا البحث إلى أن قيمة  $g$  المثلى هي 1.755، أما البحث [1] فيعد أن  $g = 4$  هي قيمة مثلى، ويعد البحث [10] أن قيمة  $g$  المثلى هي 5. لذلك سنجري في هذه الفقرة محاكاة لنظام القيادة السابق لحالتي  $g = 1.755$  و  $g = 5$  (بعد تعديل قيمة  $g$  بواسطة التصحيح التفرعي) لمحاولة معرفة الحقيقة.

نقوم بإدخال التغذية الخلفية السالبة الإضافية (الخطان المتقطعان في الشكل 18) للفرق بين سرعة المحرك

-نحدد قيمة  $b_{20,2}$  في النهاية الحدية الثانية بحسب العلاقة (28) وهي علاقة مشتركة لإحداثيات الخرج جميعها:

$$b_{20,2} = \sqrt{\frac{2}{k(1+g)}} - 1 = 1.168$$

نلاحظ أن  $b_{20,2}$  أكبر من  $b_{20,1}$  لذلك:

$$b_{20} = b_{20,2} = 1.168$$

$$t_c = b_{20} T_y = 0.01367 \text{ sec}$$

$$K_{RW} = k_{RW} \frac{k_i I_{an}}{k_w W_n} = t_c K T_m \frac{k_i I_{an}}{k_w W_n} = 21.23$$

$$W_{RW}(s) = 36.76 + \frac{1553.4}{s} + 0.2123s$$

يبين الشكل 19 دارة محاكاة نظام القيادة الكهربائية للمدرفة باستخدام MATLAB SIMULINK.

إن الحالات العابرة الناتجة عن محاكاة النظام باستخدام MATLAB SIMULINK بحسب طريقة البحث [1] مبيّنة في الشكل 20، ويبين الشكل 21 الحالات العابرة الناتجة بحسب طريقة هذا البحث.

يبين الجدول 4 بارامترات الأداء الديناميكي للنظام عند ضبطه بحسب الطريقتين السابقتين وعند إقلاعه مع الحمل الاسمي الكامل.

الجدول 4. مقارنة بارامترات الأداء الديناميكي للنظام قبل تعديل

قيمة  $g$ .

الطريقة المتبعة	طريقة البحث [1]	طريقة هذا البحث	نسبة التحسين $\Delta\%$	الأحداثي
				المُقاد
$w_1$	S %	31.1	34.55	-11
	$t_p$	0.65	0.3	54
$w_2$	S %	134	142	-6
	$t_p$	0.85	0.32	62.3
	$e$	6.54	5.88	10
$M_y$	$M_{y \max} 10^6$	10	9.92	0.8
	$t_p$	0.87	0.31	65.5
	$e$	$6.5 \cdot 10^6$	$5.5 \cdot 10^6$	15.4

يبين الشكل 22 الحالات العابرة الناتجة بحسب طريقة هذا البحث، إذ نُزِلَ الحمل الكامل  $M_L$  على النظام المصحح تفرعياً في اللحظة الزمنية 0.7 sec.

يمكن التخلص من زيادة التنظيم نهائياً دون تخفيض يذكر لسرعة الاستجابة، وذلك بإضافة عنصر تكامل  $(\frac{1}{0.25s})$  إلى مدخل الجملة مع محدد لإشارة الدخل بحيث لا تتجاوز 15V (انظر الشكل 19) فتصبح الحالة العابرة كما في الشكل 23.

ب- يُحدد البحث [10] -كما ذكرنا- بأن قيمة  $g$  المثلى تساوي 5، ويعطي العلاقة التالية لتحديد عامل التضخيم للجمل أحادية المكاملة:

$$k_{Rw} = \frac{gT_{m1}}{2\sqrt{g-1}T_y} \quad (48)$$

فعند  $g = 5$ ، نجد:

$$T_{m2} = T_{m1}(g-1) = 1.856 \text{ sec}$$

$$T_m = T_{m1} + T_{m2} = 2.32 \text{ sec}$$

$$T_y = \sqrt{\frac{T_{m1}T_{m2}T_c}{T_m}} = 0.0263 \text{ sec}$$

$$k_{Rw} = \frac{gT_{m1}}{2\sqrt{g-1}T_y} = \frac{5 \cdot 0.464}{2 \cdot 2 \cdot 0.0263}$$

$$= 22.053$$

نحدد معامل التغذية العكسية الإضافية لهذه الحالة:

$$k_{f1} = k_{f2} = \frac{g_o - g}{g} = \frac{5 - 1.1875}{1.1875}$$

$$= 3.21$$

نعدُّ أن منظم السرعة تناسبي  $p$ ، ونضع قيم  $k_{Rw}$  و  $k_{f1}$  و  $k_{f2}$  في دارة المحاكاة المبينة في الشكل 19.

يبين الشكل 24 الحالات العابرة بحسب طريقة البحث [10]. إن مقارنة طريقة هذا البحث (لنظام ثنائي المكاملة وعند  $g = 1.755$ ) بطريقة البحث [10] (لنظام أحادي المكاملة وعند  $g = 5$ ) هي لصالح البحث [10]. فيكفي

وسرعة الآلة ونحدد قيمة معامل التغذية الخلفية بحسب العلاقة الواردة في العمل [1]:

$$k_{f1} = k_{f2} = \frac{g_o - g}{g} = \frac{1.755 - 1.1875}{1.1875}$$

$$= 0.478$$

أ- نحدد بارامترات منظم السرعة بحسب المعيار الأمثل الثاني في هذا البحث:

$$k_{20} = \frac{2-g}{g^2} = \frac{2-1.755}{(1.755)^2} = 0.08$$

$$b_{20,1} = \frac{\sqrt{2g(g-1)}}{2-g} = 6.645$$

$$b_{20,2} = \sqrt{\frac{2}{k(1+g)}} - 1 = 2.84$$

$$b_{2o} = b_{2o,1} = 6.645 \quad \text{إذاً}$$

دون إجراء أي تغيير على قيم المعطيات الأساسية (أي بقاء قيمة  $J_2$  في الدارة المبينة في الشكل 19 - كما وردت في جدول المعطيات 2)، نغير قيمة  $g$  إلى  $g = g_o$  فقط من أجل حساب بارامترات المنظم PID بقيم مطلقة:

$$T_{m2} = T_{m1}(g-1) = 0.464(1.755-1)$$

$$= 0.35 \text{ sec}$$

$$T_m = T_{m1} + T_{m2} = 0.464 + 0.35$$

$$= 0.814 \text{ sec}$$

$$T_y = \sqrt{\frac{T_{m1}T_{m2}T_c}{T_m}} = 0.0193 \text{ sec}$$

$$t_c = b_{2o}T_y = 0.128 \text{ sec}$$

$$K = \frac{k_{2o}}{T_y^2} = 214.8$$

$$k_{Rw} = t_c K T_m = 22.4$$

$$W_{Rw}(s) = 24.15 + \frac{175}{s} + 0.224s$$

PID فتنقى السرعة ثابتة بعد تنزيل الحمل، كما هو واضح من الشكل 23. بمقارنة مختلف أشكال الحالات العابرة نستنتج أن إضافة تغذية خلفية سالبة إلى الفرق بين سرعة المحرك وسرعة الآلة يحسن الأداء الديناميكي للنظم ثنائية الكتل لدرجة عالية، وأن جعل  $g = g_o = 1.755$  يحسن سرعة استجابتها مع بقاء زيادة التنظيم (والتأرجح) ضمن الحدود المقبولة. أمّا القيمة  $g = 5$  فهي مثلى من حيث التأرجح فقط (انظر الشكل 25 لحالة  $g = 5$  وعند ضبط النظام بحسب المعيار الأمثل الأول من هذا البحث).

يتضح أيضاً من خلال الحسابات التي أُجريت في هذه الفقرة أن  $g = g_o$  هي حالة خاصة من حالات هذا البحث وليس هناك حاجة لتخصيص دراسة مستقلة لها، لأن العلاقات الناتجة في هذا البحث تصلح لهذه الحالة الخاصة أيضاً.

#### 10-النتائج:

أُنجزَ في هذا البحث ما يأتي:

- 1- وضعت طريقة هندسية لتحقيق تصميم أمثل للنظم ذات الكتل المزدوجة مع منظم سرعة تناسبي-تكاملي-تفاضلي. وتجدر الإشارة إلى أن النهايات الحدية المثلى ستكون موجودة في أي نظام كهربائي أو إلكتروني أو ميكانيكي يحتوي على عنصري مكاملة أو أكثر الأمر الذي يفتح آفاقاً مستقبلية لجعل هذه النظم مثلى بالطريقة التي عُرضت في هذا البحث.
- 2- أُستخرجت علاقات رياضية لتحديد البارامترات المثلى لمنظم السرعة PID لنظام ثنائي الكتل تتطابق مع أربعة معايير علمية مثلى. كما أُستخرجت علاقات لتحديد دليل التأرجح الأمثل وعامل نسبة الكتل الأمثل والترددات المثلى.

أن نتذكر أن للنظام أحادي المكاملة ذي الكتلة الواحدة تكون  $S\% = 4.3\%$  أمّا للنظام ثنائي المكاملة ذي الكتلة الواحدة فتكون  $S\% = 56\%$ ، أي إنَّ زيادة التنظيم تزداد 13 مرة [5]. من خلال مقارنة الشكل 22 بالشكل 23 تبين أن زمن الحالة العابرة انخفض من 0.5sec إلى 0.4sec أي تحسن بمقدار 20%، أمّا زيادة التنظيم فقد ازدادت لسرعة الآلة وانخفضت لسرعة المحرك.

الجدول 5. مقارنة بين الشكلين 23 و24 (لبارامترات الأداء

الديناميكي للنظام بعد تعديل قيمة  $g$ ).

طريقة المتبعة	طريقة الأحدثي المقاد	طريقة البحث [10]	طريقة هذا البحث	نسبة
				التحسين $\Delta\%$
$W_1$	$S\%$	22.6	5.9	73.9
	$t_p$	0.55	0.5	9
$W_2$	$S\%$	17	8	52.9
	$t_p$	0.5	0.42	16
$M_y$	$M_{y \max} 10^6$	3.7	0.47	87
	$t_p$	0.55	0.5	9

يبين الجدول 5 مقارنة بارامترات الأداء الديناميكي للشكلين 23 و24 للنظام عند ضبطه بحسب الطريقتين السابقتين.

مع أن تأرجح النظم ثنائية المكاملة -كما هو معلوم- يعدُّ كبيراً مقارنة بالنظم أحادية المكاملة، فمن خلال مقارنة الشكل 23 لحالة  $g = g_o = 1.755$  (بطريقة هذا البحث) بالشكل 24 لحالة  $g = 5$  (بطريقة البحث [10]) نلاحظ أن استخدام طريقة هذا البحث (مع عنصر تكامل على مدخل الجملة) تؤدي إلى تحسين جميع بارامترات الأداء الديناميكي المهمة للنظام، كما يبين الجدول 5.

نلاحظ من الشكل 24 أيضاً أن استخدام منظم سرعة تناسبي يؤدي إلى هبوط واضح للسرعة عند تنزيل الحمل (في اللحظة الزمنية 0.7sec)، أمّا عند استخدام المنظم

إدخال تغذية عكسية سالبة إلى الفرق بين سرعة المحرك وسرعة الآلة بحيث تجعل  $g$  مثلي  $g = g_o = 1.755$ ، ثم الضبط بحسب المعيار الأمثل الثاني بحسب العلاقات (30) - (32).

2- عند  $g < 1.95$  يُفضل الضبط بحسب المعيار الأمثل الثاني أيضاً.

3- عندما تكون  $g \geq 1.95$  يفضل ضبط النظام بحسب المعيار الأول. ولمقارنة عملية ضبط النظام بطرق سابقة عند عامل التضخيم نفسه، أو عند دليل التآرجح نفسه الناتج في طرائق سابقة يتم الضبط بحسب المعيارين الثالث والرابع.

4- إن النهايات الحدية المثلى في حزمة الخواص الترددية للمطال موجودة في نظم القيادة الكهربائية أحادية الكتل [6] (توجد نهاية حدية مثلى واحدة) وفي أي نظام كهروميكانيكي - كما ذكرنا - عندما يحتوي على عنصر مكاملة أو أكثر الأمر الذي قد يفتح الباب أمام الباحثين لجعل مختلف النظم ذات المكاملات الثنائية والمتعددة مثلى بطريقة البارامترات المتعددة المثلى المبتكرة وذلك باتباع التسلسل الآتي:

أ- وضع النموذج الرياضي للنظام موضوع البحث على شكل تابع تحويل عقدي (الخواص الترددية للمطال).

ب- التأكد من وجود نهايات حدية مثلى، وذلك برسم حزمة منحنيات الخواص الترددية للمطال.

ج- صياغة أو اختيار معايير الضبط الأمثل.

د- إجراء الاشتقاقات الجزئية اللازمة لإيجاد البارامترات المثلى.

هـ- تطبيق النتائج.

5- من الممكن دراسة البحث باستخدام المتحكمات الحديثة Fuzzy Control و Neural Network.

3- بين البحث إمكانية ظهور طنين كهروميكانيكي في المنظومات ثنائية الكتل عند استخدام منظم سرعة تناسبي-تكاملي PI، وانعدام فرص ظهور هذا الطنين عند استخدام منظم سرعة نوع PID وهذه نقطة تفوق مهمة مقارنة بالعمل [2] كما أن العلاقات الناتجة في هذا البحث خالية من التقريب وليست صعبة الاستعمال مقارنة بالبحث المذكور.

4- أثبت أن مجال تغيير  $t_D$  الذي يمكن أن يحقق قيمة مثلى لدليل التآرجح هو مجال واسع جداً:

$$6 > \frac{t_D}{2T_m} > 0.3$$

#### النتائج العملية:

استعملت نتائج البحوث النظرية لمحاكاة نظام قيادة كهربائية لأسطوانات مدرفلة. وقد تبين من خلال مقارنة منحنيات الحالات العابرة وبارامترات الأداء الديناميكي لنظام قيادة المدرفلة أن الطريقة المقترحة في هذا البحث تتفوق على الطرائق الواردة في البحثين [10,1]. فعلى سبيل المثال تحسنت سرعة الاستجابة بمقدار يراوح بين 9% و 65% وتحسن الانحراف المعياري بمقدار يزيد على 10%.

ونشير إلى أن في البحثين [3,2] قُدمت مقارنة لنتائج ضبط منظم تناسبي-تكاملي PI لقيادة منظومة ثنائية الكتل بمختلف طرائق الضبط الأمثل وتوصلاً إلى أن طريقة البارامترات المتعددة المثلى المبتكرة في البحث [2] تتفوق بأدائها على الطرائق التقليدية وغير التقليدية السابقة جميعها، وتحقق أعلى درجات الاستقرار للنظم الكهروميكانيكية التي تصمم على أساسها.

#### 11- التوصيات:

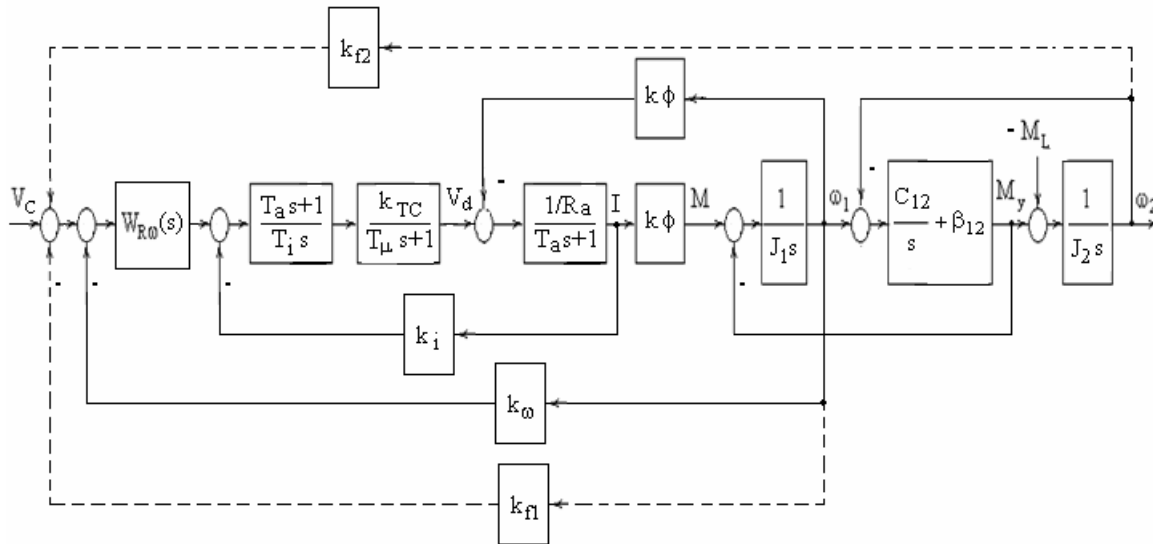
من خلال الدراسة السابقة نوصي بما يأتي:

1- من أجل الحصول على أعلى سرعة استجابة عند أقل تآرجح للنظام ثنائي الكتل يُفضل دراسة إمكانية

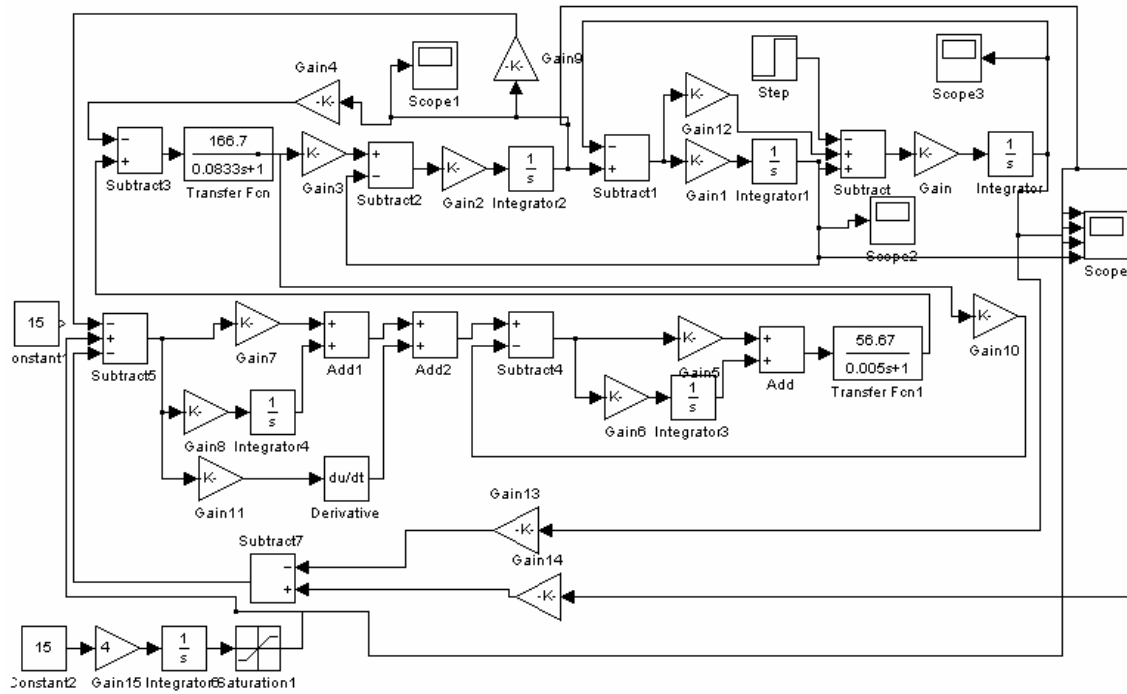
أما بالنسبة إلى عزم الحمل  $M_L$  فهو يشكل إشارة تشويش على جملة ثنائية المكاملة كما ذكرنا سابقاً، لذلك فتأثيره في الجملة يكون محدوداً كما يبيّن الشكل 22. ولكن هذا لا يمنع من تخصيص بحث مستقل لدراسة هذا الموضوع بالتفصيل، فبعد أن بيّنا وجود النهايات الحدية المثلى في حزمة منحنيات الخواص الترددية للتابعين (6) و (7) يصبح نجاح هكذا دراسة شبه مضمون. فضلاً عن ذلك فإن هذا النوع من البحوث يحتاج الكثير من الجهد والصبر والعمل. رغم ذلك فقد قُدِّمَتْ من خلال هذا البحث طريقة علمية تشكل إسهاماً بحثياً للمهتمين في هذا المجال والراغبين في تطوير هذا الاتجاه العلمي وتطبيقه على نظم أكثر تطوراً. أملين التعاون.

## 12- مساوي طريقة هذا البحث:

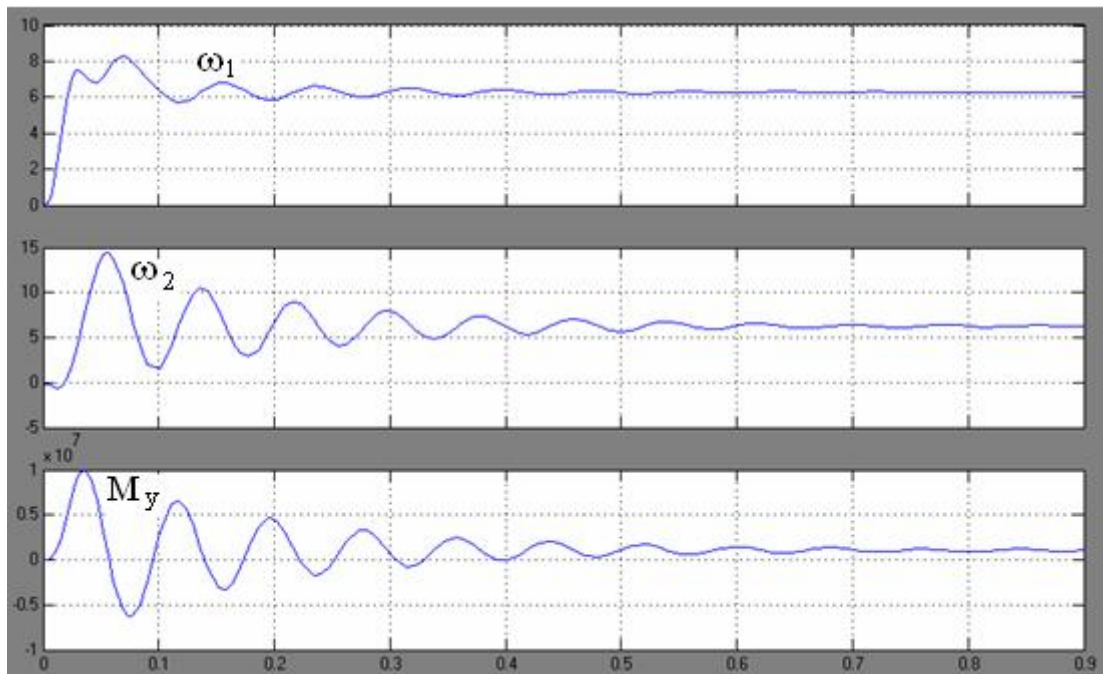
من أهم مساوي طريقة هذا البحث أنها قد تتطلب دراسة توابع تحويل الجملة جميعها. فللنظام ذي الكتل المزدوجة لدينا ستة توابع تحويل: ثلاثة بالنسبة إلى إشارة التحكم  $V_C$  وثلاثة بالنسبة إلى إشارة الحمل  $M_L$ . لذلك يتم اختيار توابع التحويل الأكثر أهمية، ففي هذا البحث اعتبرنا أن تابعي التحويل  $\frac{W_2(s)}{V_C(s)}$  و  $\frac{M_y(s)}{V_C(s)}$  هما الأهمان، لأن تحسين الخواص الديناميكية لسرعة الآلة ينكس إيجابياً على كمية وجودة الإنتاج، كما أن تخفيض القيمة العظمى للعزم في الوصلة المرنة يقلل من احتمال اهتراء هذه الوصلة أو كسرها.



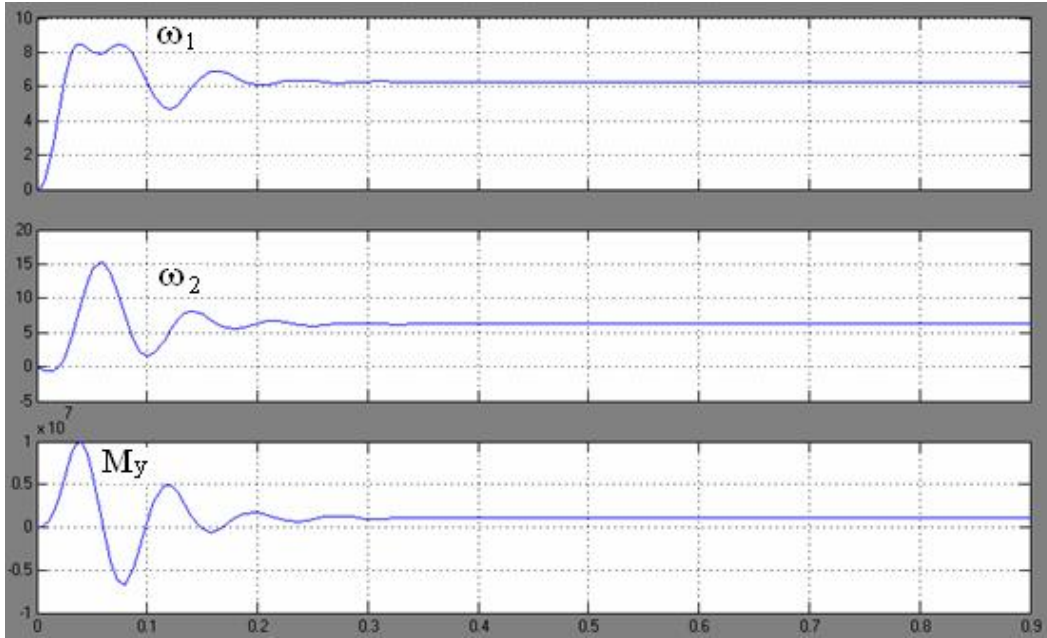
الشكل 18. المخطط الصندوقي البنوي لنظام قيادة مدرفلة ثنائي الكتل.



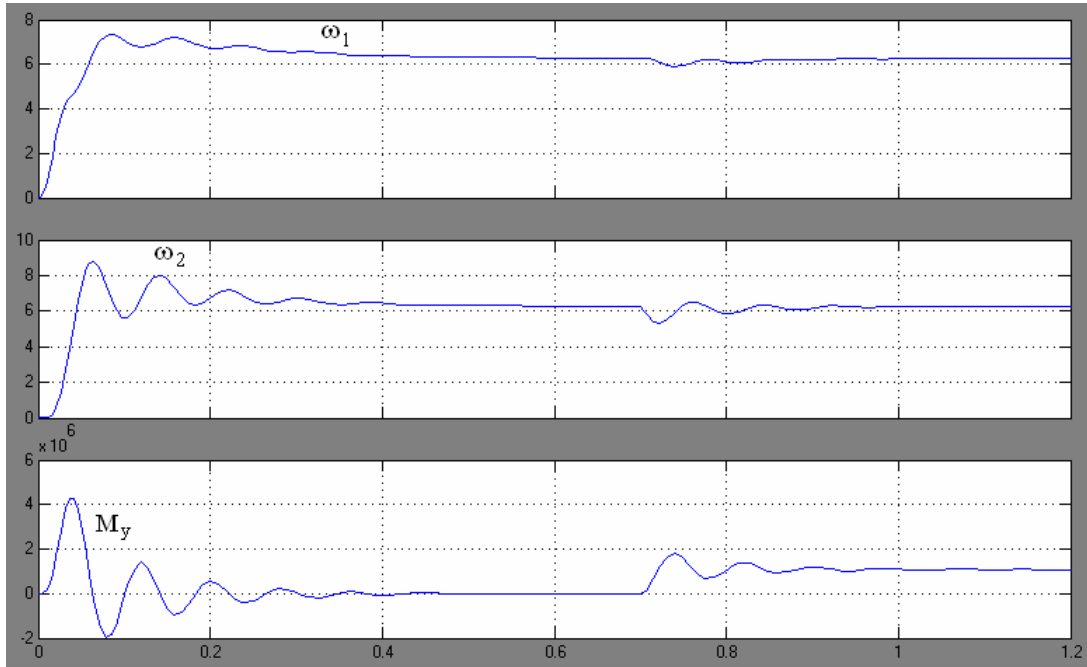
الشكل 19. دارة محاكاة نظام قيادة مدرفلة بواسطة MATLAB SIMULINK.



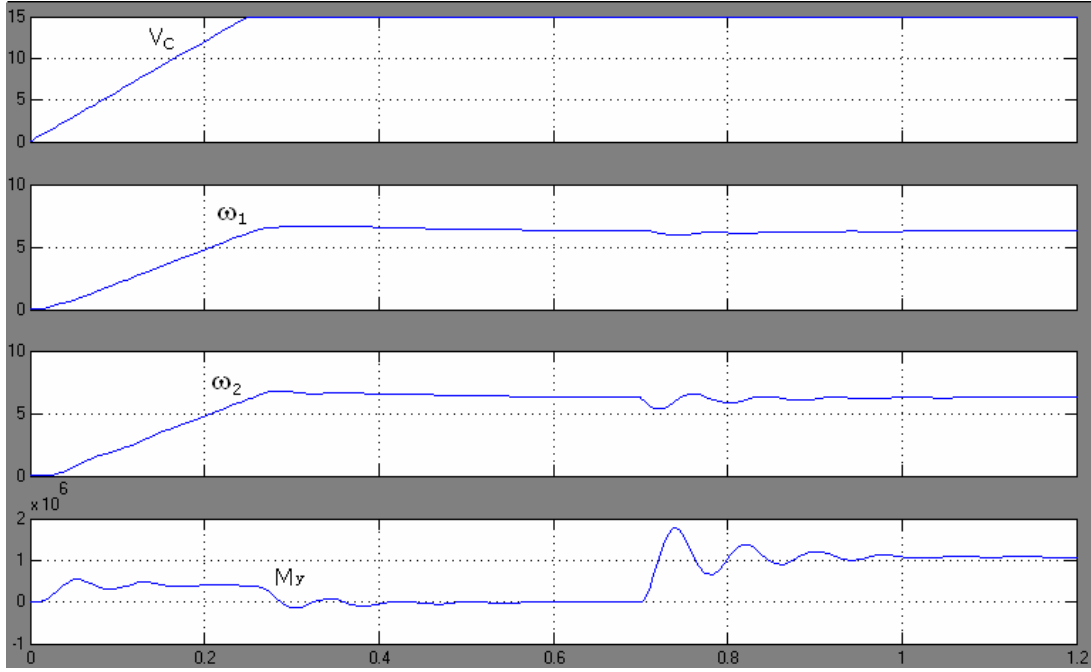
الشكل 20. الحالات العابرة لنظام قيادة كهربائية مدرفلة عند ضبطه بحسب الطريقة الواردة في [1].



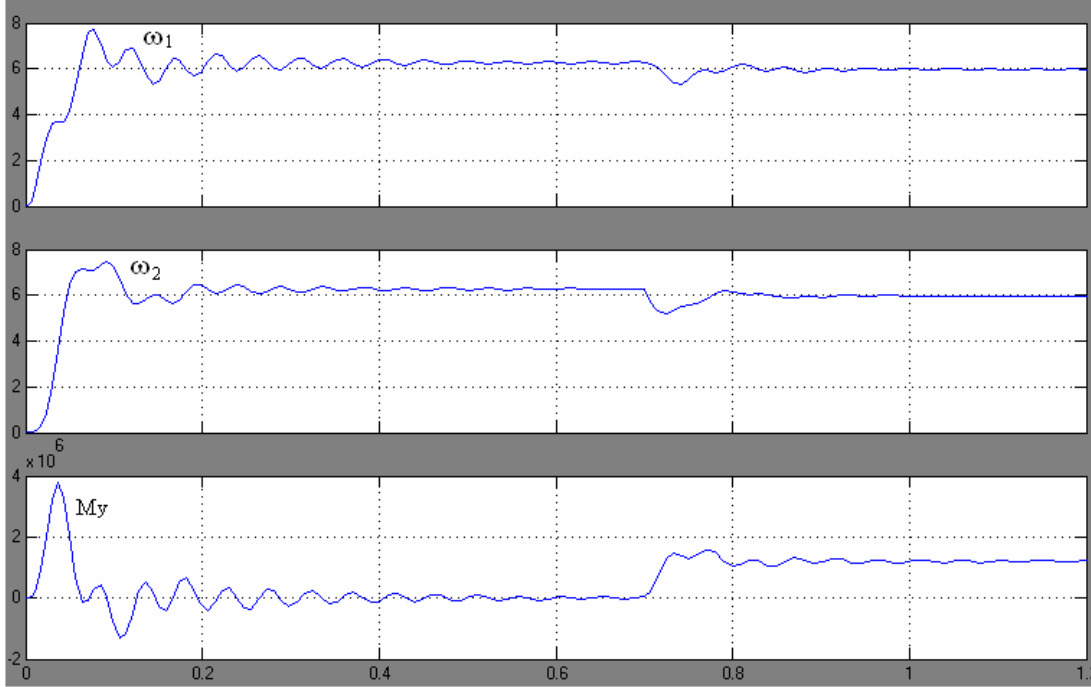
الشكل 21. الحالات العابرة لنظام قيادة مدرفلة عند ضبطه بحسب الطريقة الواردة في هذا البحث.



الشكل 22. الحالات العابرة لحالة  $g = g_0$ .

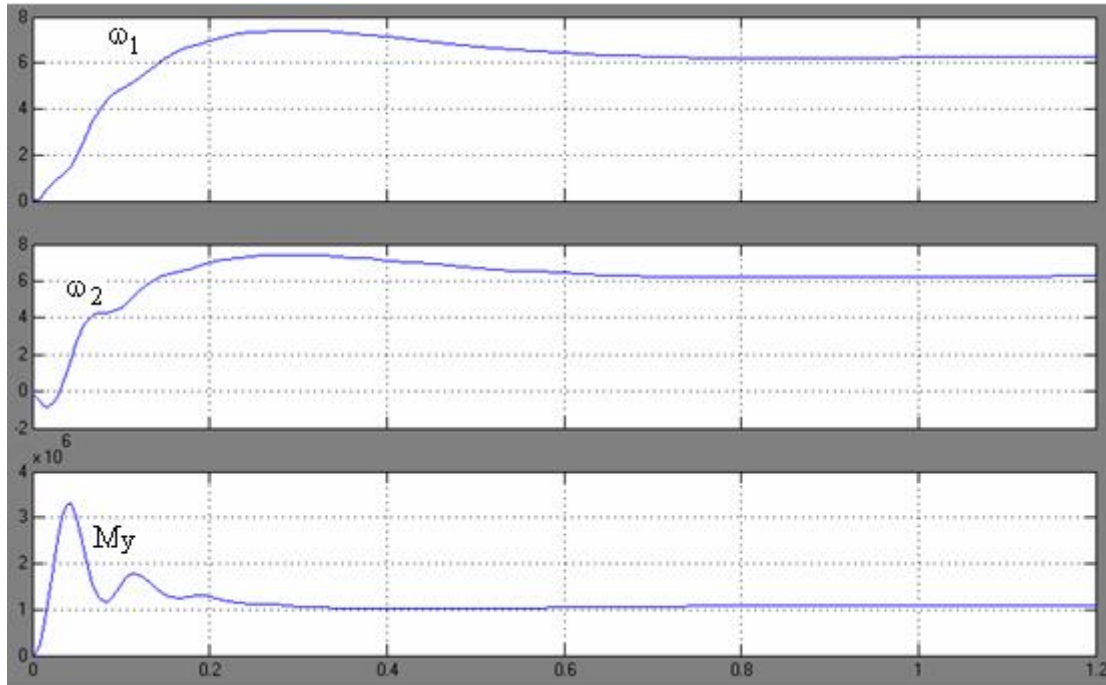


الشكل 23. الحالات العابرة لحالة  $g = g_o$  مع تعديل شكل إشارة الدخل  $V_C$ .



الشكل 24. الحالات العابرة لنظام قيادة كهربائية لمدرقطة عند ضبطه بحسب الطريقة الواردة في البحث [10] عند  $g = 5$ .





الشكل 25. الحالات العبرة لنظام قيادة مدرفلة عند ضبطه بحسب المعيار الأمثل الأول من هذا البحث عند  $g = 5$ .

## المراجع:

- 1-Bortsov U.A., Sokolovski G.G., Automated Electric Drive with Resilient joint. Energoatomizdat, Sankt-Peterburg 1992.
- 2-Klepikov V. B., Zarifa Badeh , Bogdanova N.V., Optimizing PI speed regulator for Double Mass Electric Drive with resilient joint. Problems of automated electro drives. Theory and practice. Kharkov 1995.
- 3-Klepikov V. B., using unclassical adjust of subordinate loop regulator in Double-Mass Electromechanical System. Problems of automated electro drives. Theory and practice. Kharkov 1996.
- 4-Klepikov V. B., Polyanskaya I.S., Analytical Synthesis of Neuroregulator for an Electromechanical System. Problems of automated electro drives. Theory and practice. Kharkov 2002
- 5-Kluchev V.I. Theory of electro drive. Energoatomizdat, Moscow 1985.
- 6-Gull A.I. Complex Performance Criterion for Automatic control. Problems of automated electro drives Theory and practice. Kharkov 2002.
- 7-Obruch I.V. Neural-Network Control of a Double-Mass Electromechanical System. Problems of automated electro drives Theory and practice. Kharkov 2002.
- 8-Kuznetsov B.I. and others. Neural-Network Control of a Double-Mass Electromechanical System. Problems of automated electro drives. Theory and practice. Kharkov 2008.
- 9-Akimov L.V., Dolbnya V.T., Pirozhok A.V. Application of Chain Fractions to Synthesis of a Speed Regulator for a Double-Mass AC Electric Drive with Nonlinear Load. Problems of automated electro drives. Theory and practice. Kharkov 2002.
- 10-ZadorozhnyN. A., Zadorozhnyaya I.N., Optimization of Damping Effect of Springy Mechanical System with Parallel Correction. Problems of automated electro drives. Theory and practice. Kharkov 2003.